

## شیمی کانی و سنگ‌زایی متابلیت‌های مجموعه دگرگونی - آذرین شترکوه (جنوب‌شرق شاهروود)

سکینه شکاری<sup>۱</sup>، محمود صادقیان<sup>۱</sup>، حبیب الله قاسمی<sup>۱</sup>، جای مینگو<sup>۲</sup>

۱- دانشکده علوم زمین، دانشگاه صنعتی شاهروود

۲- مؤسسه زمین‌شناسی و زئوفیزیک انجمن علوم چین و دانشگاه نورث‌وست (شمال‌غرب) چین

(دریافت مقاله: ۹۵/۱۲/۱، نسخه نهایی: ۹۶/۵/۳)

چکیده: مجموعه دگرگونی - آذرین شترکوه به سن پرتوزوژئیک پایانی [۵۴۸] تا ۵۷۹ میلیون سال پیش) واقع در جنوب‌شرق شاهروود، طیف متنوعی از پنج گروه ترکیبی متابازیت، متابلیت، متاگریوک، متاپسامیت و متاکربنات را شامل می‌شود. متابلیت‌های این مجموعه طیف سنگی متنوعی از فیلیت تا گنیس و میگماتیت را شامل می‌شوند. شدت دگرگونی در بالاترین درجه، تا مرز ذوب‌بخشی و تشکیل گدازه‌های گرانیتی پیش‌رفته است. نتایج دما - فشار سنجی بر شبکه‌پنهنه‌ها دمای [۴۵۷] تا ۶۴۱ درجه سانتیگراد و فشار ۶ تا ۱۳ کیلوبار) با شرایط دما - فشار رخسارهای شیست‌سیز تا آمفیبولیت همخوانی دارد. یافته‌های جدید نشان می‌دهد که دنباله‌های رسوبی اولیه (سنگ‌های مادر مجموعه دگرگونی شترکوه) طی یک نظام کششی - کافتی درون قاره‌ای و در حوضه‌های دریایی - اقیانوسی تشکیل شده‌اند. این حوضه‌ها، طی رخداد کوهزایی کادومین بسته‌شده، سنگ‌های آنها دگرگون شده و سپس به صورت آمیزه‌های زمین‌ساختی یا منشورهای بهم افزوده، بر پوسته‌های قاره‌ای سرزمهین‌های مجاور خود رانده شده‌اند.

واژه‌های کلیدی: دگرگونی؛ دما- فشار سنجی؛ شاهروود؛ شترکوه؛ کادومین؛ متابلیت.

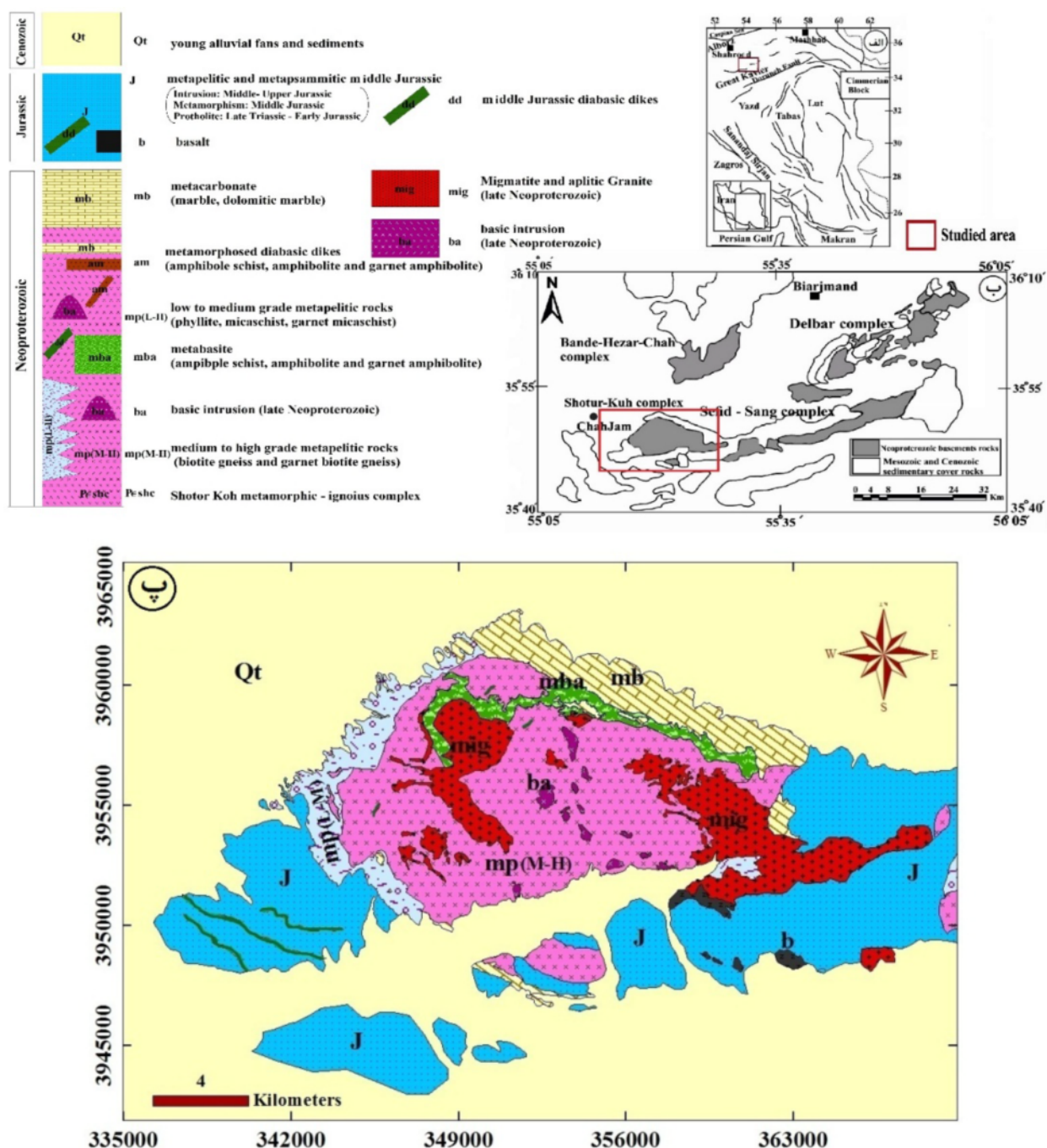
ترکیه [۲۰، ۱۹] و اندکی دورتر در شمال شرقی قاره افریقا [۲۱، ۲۲]، این سرزمهین‌ها دارای ویژگی‌های مشابه بسیاری با سرزمهین‌های پی‌سنگی ایران هستند و در ضمن می‌توانند در پاسخگویی به بسیاری از ابهامات مربوط به سرزمهین‌های قدیمی و پی‌سنگی ایران مفید باشند. بررسی سرزمهین‌های دارای ویژگی‌های گندوانایی در بازسازی تاریخچه زمین‌شناسی ایران، در گستره زمانی نئوپرتوزوژئیک- کامبرین و در ارتباط با کوهزایی پان افریقا و در درک دگرگونی‌های بخش گندوانایی ایران مفید است. این مجموعه‌های دگرگونی - آذرین، در بیشتر موارد سنگ‌های دگرگونی درجه پایین تا درجه بالا را شامل می‌شوند و سنگ‌هایی با ماهیت متابلیتی، متاگریوکی، متاپسامیتی، متاکربناته، متابازیتی و متاریولیتی هستند، اما فراوانی هر یک از این گروه‌های سنگی، از منطقه‌ای به منطقه

### مقدمه

در جنوب و جنوب‌شرق شاهروود، چندین مجموعه دگرگونی - آذرین به سن نئوپرتوزوژئیک پایانی رخنمون دارند (از جمله شترکوه، دلبر، بندهزارچاه، ماجراجاد، دوچاه، احمدآباد، رضآباد و میامی) (شکل ۱). در سال‌های اخیر، پژوهشگران مختلف نظری [۱۱-۱]، این سرزمهین‌ها را به عنوان سرزمهین‌های گندوانایی واقع در کرانه شمالی گندوانا معرفی کرده‌اند. سن‌سنجی‌های U-Pb انجام شده بر زیرکن‌های استخراج شده از گروه‌های سنگی مختلف این سرزمهین‌ها، نشانگر گستره سنی حدود ۵۴۰ میلیون سال برای شرایط اوج دگرگونی و گرانیت‌زایی مجموعه‌های سنگی نامبرده است [۹-۱]. بر اساس بررسی‌های انجام شده در کشورهای همسایه از قبیل عربستان سعودی [۱۲-۱۴]، افغانستان [۱۵، ۱۶]، عمان [۱۷، ۱۸]،

نشده است. از این رو، این پژوهش به منظور شناسایی دقیق‌تر و معرفی دگرگونی‌های سنگ‌شناسی صورت گرفته است و نتایج با ارزشی به همراه داشته است که بخشی از آن به ویژه دگرگونی‌های سنگ‌شناسی متاپلیت‌های مجموعه شترکوه، در این مقاله ارائه می‌شود.

دیگر متفاوت است. مجموعه دگرگونی‌آذرین شترکوه یکی از همین سرزمین‌های بی‌سنگی ایران است. مقایسه شواهد صحرایی در بازدیدهای اولیه و مستندات منتشر شده پیشین نشان داد که هنوز بسیاری از دگرگونی‌های سنگ‌شناسی مجموعه آذرین دگرگونی شترکوه به خوبی معرفی و تفسیر



شکل ۱ (الف) موقعیت مجموعه دگرگونی‌آذرین شترکوه بر نقشه ایران، (ب) موقعیت این مجموعه در بین سرزمین‌های گندوانایی جنوب و جنوب شرق شاهروود، (پ) نقشه زمین‌شناسی این مجموعه که براساس بررسی‌های صحرایی و تصاویر ماهواره‌ای تهیه شده است. گفتنی است مز بین بخش درجه بالا و درجه پایین تدریجی است.

تدریجی در متاپلیت‌ها به وضوح قابل مشاهده است. گنیس‌ها و گارنت‌گنیس‌ها غالباً دارای پورفیروبلاست‌های گارنت و پتاسیم‌فلدسبار (ارتوز) هستند (شکل ۲ ب).

در هر دو بخش متاپلیتی و متاپلیتی، شواهد بارز میگماتیت‌زایی دیده می‌شود. در متاپلیت‌ها، میگماتیت‌زایی به تشکیل آپلیت‌های گرانیتی و در متاپلیت‌ها، به تشکیل گرانوپیوریت، تونالیت و پلاژیوگرانیت منجر شده است. دو پدیده جدایش دگرگونی و ذوب بخشی درجا، در تشکیل نواربندی گنیسی و میگماتیت‌زایی متاپلیت‌ها سهم عمده‌ای داشته‌اند. شواهد صحرایی نشان می‌دهند که فراورده‌های آذرین حاصل از فرایند ذوب بخشی، نسبت به کل مجموعه شترکوه حجم بسیار کمی دارند و سپس دستخوش دگرشکلی و میلیونیت‌زایی شده‌اند. در بعضی نقاط، گنیس‌ها به طور بارز توسط پگماتیت‌ها و آپلیت‌ها قطع شده‌اند.

### سنگنگاری و متاپلیت‌ها

متاپلیت‌ها طیف وسیعی از سنگ‌های دگرگونی شامل اسلیت، فیلیت، میکاشیست، گارنت‌میکاشیست، گنیس، گارنت‌گنیس را در بر می‌گیرند. فیلیت‌ها، میکاشیست‌ها و گارنت‌میکاشیست‌ها بافت لپیدوبلاستی، پورفیروبلاستی و پوئی کیلوبلاستی نشان می‌دهند (شکل ۳ الف). حضور فراوان مسکوویت و بیوتیت در این سنگ‌ها، برگوارگ (شیستوزیت) بارزی را ایجاد کرده است. بافت‌های S-C ناشی از عملکرد پهنه‌های بُرُشی در میکاشیست‌ها در مقیاس ماکروسکوپی و میکروسکوپی به طور آشکار دیده می‌شوند. بلورهای ریز مسکوویت و بیوتیت به صورت اجتماعات ماهی شکل (Mica fish)، نتیجه این بافت‌ها بوده و برای تعیین جهت بُرُش قابل استفاده هستند. بافت‌های مایل (S, C') که از جمله شواهد بارز دگرگیریختی در پهنه‌های بُرُشی و میلیونیتی هستند، در این سنگ‌ها بسیار دیده می‌شوند. گارنت در سنگ‌های گارنت‌میکاشیستی، شواهدی از رشد همزمان با زمین‌ساخت تا پس از زمین‌ساخت را نشان می‌دهند (بافت گلوله برفی). براساس شواهد میکروسکوپی و نتایج دما-فشارسنجی که در ادامه به آنها اشاره خواهد شد، این سنگ‌ها در شرایط دما - فشار حاکم بر رخساره‌های شیست سبز و آمفیبولیت، دگرگون شده‌اند.

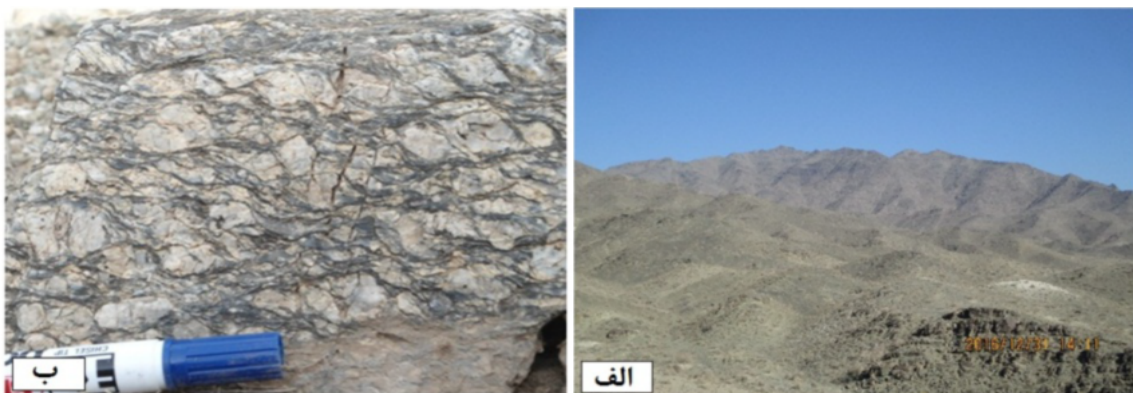
### روش انجام پژوهش

بررسی پژوهش‌های پیشین در مورد منطقه شترکوه، بازدیدها، برداشت‌های صحرایی، تهیه ۴۵۰ مقطع نازک و ۲۷ مقطع نازک - صیقلی از کارهای مقدماتی انجام این پژوهش بوده‌اند. تجزیه شیمیایی نقطه‌ای کانی‌ها به روش ریزپردازش الکترونی (EPMA) و تجزیه شیمیایی سنگ کل تعداد ۱۸ نمونه متاپلیتی به روش ICP-MS و ICP-OES در آزمایشگاه دگرگونی سنگ کره‌ای موسسه زمین‌شناسی و زمین‌فیزیک ایالت بیجینگ کشور چین انجام شد. تجزیه کانی‌ها توسط دستگاه ریزپردازندۀ مدل JXA-8100 ۱۵kV در ولتاژ  $10^{-8}$  A، دمای  $25^{\circ}\text{C}$  و رطوبت ۳۰٪ صورت گرفت و از نمونه استاندارد GB/T 1561-2002 ساخت کشور چین استفاده شد.

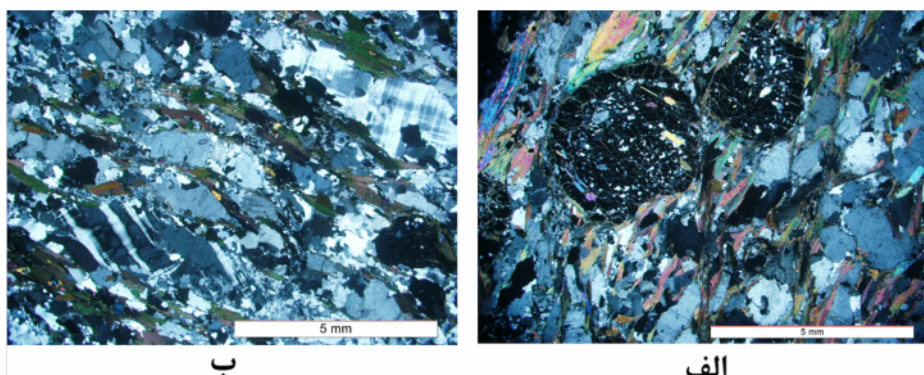
### زمین‌شناسی منطقه

مجموعه دگرگونی شترکوه در جنوب شرق شهرود و در کرانه شمالی پهنه ساختاری ایران مرکزی واقع است. این منطقه در گستره‌ای با مختصات جغرافیایی  $55^{\circ} ۳۲' \text{ تا } ۵۵^{\circ} ۵۵'$  عرض شمالی و  $۵۳^{\circ} ۴۰' \text{ تا } ۵۳^{\circ} ۴۷'$  طول شرقی در گستره نقشه‌های زمین‌شناسی  $۱: ۱00000$  طرود و  $۱: ۲50000$  رزو و یا به عبارت صحیح‌تر رزه قرار دارد. با وجود پژوهش‌های ارزشمند پیشینیان در این منطقه [۱، ۲، ۳، ۶، ۷]، به دلیل مشکلات فراوان در دسترسی به رخنمون‌ها، آب و هوای بسیار نامساعد و پیچیدگی دگرگونی‌های سنگ‌شناسی و زمین‌دینامیکی منطقه، هنوز هم ابهامات فراوانی درباره سرگذشت زمین‌شناسی مجموعه شترکوه وجود دارد. همچنین با توجه به انجام بررسی‌های دقیق و جامع در سرزمین‌های قدیمی ایران در مناطق مجاور [۴، ۵، ۸، ۹، ۲۳]، لازم بود که بررسی این دگرگونی‌های در پرتو مطالعات صحرایی و آزمایشگاهی گسترده در این مجموعه نیز انجام گیرد.

سنگ‌های دگرگونی با طیف ترکیبی متنوع و به صورت پیوسته در سراسر مجموعه دگرگونی شترکوه رخنمون دارند. تنوع ترکیبی توالی رسوی و آذرین اولیه، به بروز این طیف ترکیبی متنوع منجر شده است. متاپلیت‌ها طیفی از فیلیت، میکاشیست، گارنت شیست، گارنت‌میکاشیست تا گنیس، گارنت‌گنیس و میگماتیت را شامل می‌شوند. دگرگونی‌های



شکل ۲ الف) دورنمایی از مجموعه دگرگونی - آذرین (شمال روستای گرگابی، نگاه به سوی شمال)، ب) گنیس میلونیتی شده دارای پورفیروبلاست‌های ارتوز. سطوح برش S و C به وضوح در این تصویر دیده می‌شوند.

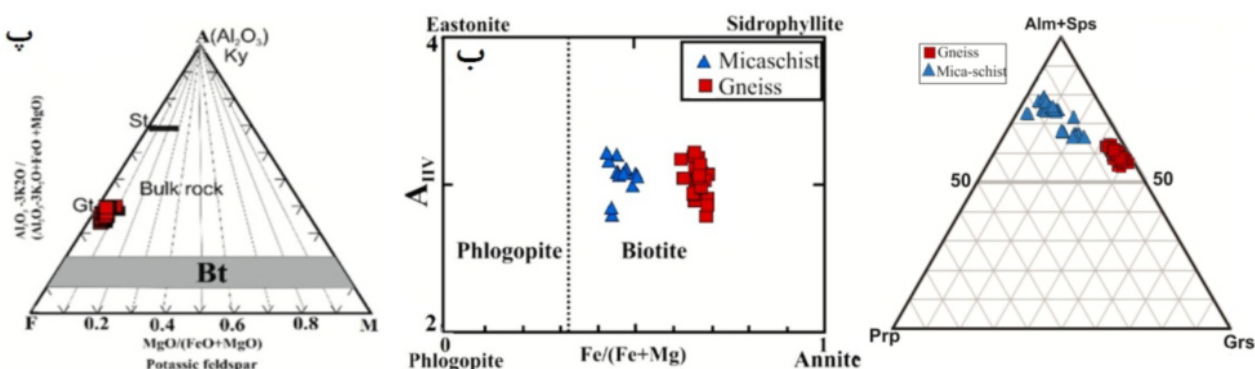


شکل ۳ تصاویر میکروسکوپی نشانده‌نده ویژگی‌های بارز سنگ‌های متاپلیتی الف) گارنت میکاشیست با بافت پورفیروبلاستی (پوئی کیلوبلاستی) (XPL)، ب) پورفیروکلاست‌های میلونیتی شده چشمی شکل پاتاسیم فلدسپار (ارتوز) در گارنت‌گنیس (XPL).

در ساخت گارنت‌هایی با مقادیر آهن و منیزیم بیشتر مصرف شده است. گرایش ترکیب گارنت‌های موجود در گنیس‌ها به سمت قطب آلماندین، این موضوع را تأیید می‌کند (جدول ۳، شکل ۴ الف).

واکنش‌های آبزدایی در متاپلیت‌ها به طور تجربی مورد بررسی قرار گرفته‌اند [برای مثال ۲۶-۲۴]. این بررسی‌ها نشان می‌دهند که چنین واکنش‌هایی می‌توانند حجم‌های قابل توجهی مذاب تولید کنند. به اعتقاد [۲۵] در دماهای بالاتر از ۷۰۰ درجه سانتی‌گراد، آبزدایی بیوتیت با شروع فرایند ذوب همراه است [۲۷]. مذاب‌های تولید شده به تدریج افزایش یافته، به هم پیوسته و در اثر تنش‌های لیتواستاتیک به سمت ترازهای بالاتر پوسته و یا محیط‌های کم فشارتر مهاجرت کرده‌اند. به همین دلیل، مذاب‌های گرانیتی به شکل بسته‌های کوچک، دایک، آپوفیز یا توده‌های نفوذی کوچک مقیاس ظاهر شده‌اند. شواهد این پدیده در جای جای منطقه مورد بررسی به ویژه در بخش شرقی آشکارا دیده می‌شود.

با پیشرفت دگرگونی ناحیه‌ای، میکاشیست‌ها به گنیس‌ها و گارنت‌گنیس‌ها، تبدیل شده‌اند و در نتیجه، برگوارگی آن‌ها به گنیسوزیته تبدیل شده است (شکل ۳ ب). ظهور مقادیر بیشتر ارتوز، کاهش فراوانی بیوتیت و افزایش اندازه دانه‌ها نیز موجب شده است تا رنگ گنیس‌ها از خاکستری تیره به سفید تا کرم تغییر کند. گنیس‌ها، حجم قابل توجهی از سنگ‌های متاپلیتی مجموعه شترکوه را به خود اختصاص داده‌اند. شواهد صحراوی نشان می‌دهند که در بسیاری از موارد، دما-فشار حاکم بر محیط تشکیل گنیس‌ها نیز به آستانه تشکیل مذاب‌های گرانیتی رسیده است. توده‌های سنگی لوکوکرات حاصل از ذوب گنیس‌ها و تبلور مذاب‌های گرانیتی، در مقیاس سانتی‌متری تا دسی‌متری دیده می‌شوند که در حقیقت می‌توان آنها را میگماتیت نامید. همچنین با افزایش درجه دگرگونی و انجام واکنش‌های آبزدایی و تخریب بیوتیت، از فراوانی این کانی کاسته و بر فراوانی ارتوکلاز یا میکروکلین افزوده شده است. آهن، منیزیم و تیتانیم خارج شده طی فرایند تخریب بیوتیت،



شکل ۴ نمودارهای تعیین ترکیب بیوپیت‌ها و گارنات‌ها. الف) نمودار  $\text{Al}^{\text{IV}}/\text{Fe}(\text{Fe}+\text{Mg})$  نسبت به  $\text{Al}^{\text{IV}}$  [۳۰] و موقعیت ترکیب بیوپیت‌ها بر آن. ب) نمودار سه‌تایی مجموع اعضاء نهایی گارنات‌ها بر آن. چنانکه دیده می‌شود، گارنات‌ها غنی از آلماندین هستند. ج) موقعیت قرارگیری گارنات‌های مورد بررسی بر نمودار AFM برپایه روش مرجع [۳۱]. رأس‌های این مثلث را می‌توان به صورت زیر تعريف کرد:  $(\text{A}=(\text{Al}/2)/(\text{Fe}^{+2} + \text{Mg} + \text{Al}/2))$ ,  $\text{F}=\text{Fe}^{+2}/(\text{Fe}^{+2} + \text{Mg} + \text{Al}/2)$ ,  $\text{M}=\text{Mg}/(\text{Mg} + \text{Fe}^{+2} + \text{Al}/2))$ .

افزایش مقدار Mg در بلورهای گارنات، مقدار Fe در بیوپیت همیافت آنها نیز افزایش می‌یابد. در ادامه از نتایج تجزیه ریزپردازش گارنات و بیوپیت (جدول‌های ۱-۶) در بررسی‌های دما-فشار سنجی استفاده شده است (جدول ۱ تا ۶).

**گارنات:** گارنات‌های موجود در میکاشیست‌ها و گنیس‌ها دارای ترکیب غنی از آلماندین هستند (شکل ۴). محاسبه درصد مولی اعضا نهایی گارنات‌ها بر حسب نسبت  $\text{Fe}^{+2}/\text{Fe}^{+3}$  به روش مرجع [۳۰-۳۲] نشان می‌دهد که ترکیب شیمیایی گارنات‌ها به طور میانگین در نمونه‌های میکاشیستی به صورت  $\text{Alm}_{73.54}\text{Sps}_{5.40}\text{Prp}_{12.59-11.85}\text{Grs}_{8.87-10.65}$  و  $\text{Alm}_{58.48}\text{Sps}_{4.07-7.73}\text{Prp}_{7.82-3.73}\text{Grs}_{30.24-37.14}$  در گارنات‌های وابسته به گارنات گنیس‌ها، به صورت  $\text{Alm}_{52.06}\text{Sps}_{4.07-7.73}\text{Prp}_{7.82-3.73}\text{Grs}_{30.24-37.14}$  است. براساس نمودارهای تغییرات ترکیبی، در پورفیروblast‌های گارنات موجود در نمونه‌های میکاشیستی، مقدار Fe از هسته گارنات‌ها به سمت حاشیه آنها افزایش می‌یابد (شکل ۵). توزیع عناصر Ca و Mn در بیشتر گارنات‌های مورد بررسی، از هسته به سمت حاشیه تقریباً روند کاهشی نشان می‌دهد.

**فلدسبارها:** در نمودار طبقه‌بندی فلدسبارها [۳۳]، فلدسبارهای قلیایی همگی در نزدیکی قطب ارتوز قرار می‌گیرند (شکل ۶ الف). پلاژیوکلازهای موجود در میکاشیست‌ها و گنیس‌های منطقه شترکوه، به ترتیب دارای ترکیب میانگین  $(\text{Ab}_{78}\text{An}_{19})$  و  $(\text{Ab}_{76}\text{An}_{22})$  هستند (شکل‌های ۶ ب و پ).

به علت ترکیب متاپلیتی و مقدار کم  $\text{Al}_2\text{O}_3$  موجود در سنگ‌های مادر شیست‌ها و گنیس‌ها، کانی‌های آلومینوسیلیکات‌ه شاخص سنگ‌های دگرگونی ناحیه‌ای چون استارولیت، کیانیت و سیلیمانیت، در آن‌ها یافت نمی‌شوند و یا بهندرت دیده شده‌اند.

### شیمی کانی‌ها

**بیوپیت:** شکل ۴ ب نشان می‌دهد که بیوپیت‌های موجود در میکاشیست‌ها و گنیس‌ها در گستره ترکیبی بین آنیت و سیدروفیلیت قرار می‌گیرند و در ضمن، بیوپیت‌ها از نوع بیوپیت‌های غنی از آهن هستند. همچنین بیوپیت‌های موجود در گنیس‌ها در مقایسه با بیوپیت‌های موجود در میکاشیست‌ها، دارای  $X_{\text{Mg}}$  پایین‌تر و در مقابل  $X_{\text{Fe}}$  بالاتری هستند. در بیشتر گارنات‌ها از هسته به سمت کناره، مقادیر Mg و Fe به ترتیب کاهش و افزایش می‌یابند، زیرا گارنات‌ها معمولاً در دماهای پایین بهشدت تمایل به جذب Fe دارند و در دماهای بالاتر در مقایسه با دماهای پایین‌تر، تمایل آنها به جذب Fe کمتر است.

در واکنش:  $\text{Chl} + \text{Ms} \rightarrow \text{Grt} + \text{Bt} + \text{Qtz} + \text{H}_2\text{O}$  [۲۹، ۲۸] که برای تشکیل گارنات در سنگ‌های مورد بررسی منطقی به نظر می‌رسد در حالت تعادل، مقدار منیزیم موجود  $X_{\text{MgGt}} < X_{\text{MgBio}}$  به صورت  $X_{\text{MgChl}}$  است. در سنگ‌های متاپلیتی، بیوپیت و گارنات معمولاً به عنوان دو کانی همیافت شناخته می‌شوند. از این رو، با

جدول ۱ نتایج تجزیه ریزپردازش (EPMA) برخی از گارنت گنیس‌ها (بعضی از داده‌ها به صورت میانگین ارائه شده‌اند).

Spots	گارنت						بیوتیت		پلازیوکلاز		
	SM-33-1			SM-53-2			SM27	SM-33	SM27	SM-33	
	حاشیه	هسته	حاشیه	حاشیه	هسته	حاشیه	میانگین	میانگین	میانگین	میانگین	
SiO <sub>2</sub>	۵۲/۳۸	۴۵/۳۶	۶۹/۳۷	۶۳/۳۸	۰/۳۷	۵۷/۳۷	۵۴/۴۰	۴۸/۳۵	۲۲/۶۲	۰/۶۰	۵۲/۳۸
TiO <sub>2</sub>	۱۹/۰	۰/۵۰	۱۶/۰	۰/۹۰	۰/۶۰	۵/۰	۱۲/۱	۷/۱	۰/۱۰	۰/۱۰	۱۹/۰
Al <sub>2</sub> O <sub>3</sub>	۷۲/۲۰	۲۱/۰۲	۱۲/۲۰	۰/۸۲۱	۰/۶۱۹	۳۱/۲۱	۸۲/۲۶	۸۳/۱۶	۱۴/۲۲	۴۳/۲۲	۷۲/۲۰
Cr <sub>2</sub> O <sub>3</sub>	۰/۲۰	۰/۱۰	۰/۲۰	۰/۰۰	۰/۰۰	۰/۰۰	۰/۴۰	۰/۱۰	۰/۰۰	۰/۰۰	۰/۲۰
FeO	۴/۲۱	۸/۲۴	۵۴/۲۲	۶۳/۲۴	۰/۴۳۴	۱۳/۳۲	۲۲/۹	۷۳/۲۴	۱۹/۰	۰/۷۰	۴/۲۱
MnO	۰/۸۵	۹۵/۲	۴۵/۴	۲۳/۲	۲۴/۱	۸۶/۱	۰/۰۰	۲۴/۰	۰/۱۰	۰/۱۰	۰/۸۵
MgO	۷۲/۰	۰/۸/۱	۹۱/۰	۱۷/۱	۸۲/۳	۳/۴	۴۲/۶	۶۸/۶	۰/۸۰	۰/۰۰	۷۲/۰
CaO	۰/۷/۱۴	۳۸/۱۲	۳۲/۱۳	۹۵/۱۲	۲	۱۳/۳	۰/۴۰	۰/۸۰	۵۸/۳	۳۳/۴	۰/۷/۱۴
Na <sub>2</sub> O	۰/۰۰	۰/۲۰	۰/۳۰	۰/۳۰	۰/۲۰	۰/۰۰	۰/۴/۱	۰/۶۰	۸۱/۸	۴۵/۸	۰/۰۰
K <sub>2</sub> O	۰/۰۰	۰/۰۰	۰/۱۰	۰/۰۰	۰/۲۰	۰/۰۰	۵۷/۸	۲۸/۹	۱۷/۰	۱۳/۰	۰/۰۰
Totals	۷/۱۰۰	۸/۹۸	۲۶/۹۹	۸۲/۱۰۰	۳/۹۷	۳۵/۱۰۰	۸۲/۹۳	۱۲/۹۵	۲/۹۷	۴۳/۹۵	۷/۱۰۰
Oxygens	۱۲	۱۲	۱۲	۱۲	۱۲	۱۲	۱۲	۱۲	۱۲	۸	۸
Si	۹۸/۲	۰/۳/۳	۹۵/۲	۰/۲/۳	۰/۳/۳	۰/۵۳	۹۸/۲	۶۰/۵	۵۲/۵	۵۶/۲	۵۲/۲
Al iv	۰/۲۰	۰/۰۰	۰/۵۰	۰/۰۰	۰/۰۰	۰/۰۰	۰/۲۰	۴۰/۲	۴۸/۲	-	-
Al vi	۹۷/۱	۹۲/۱	۹۵/۱	۹۰/۱	۹۵/۱	۸۶/۱	۹۸/۱	۹۵/۱	۶۰/۰	-	-
Al	۹۹/۱	۹۲/۱	۲	۹/۱	۹۵/۱	۸۶/۱	۲	۳۵/۴	۰/۸/۳	۲۲/۱	۲۵/۱
Ti	۰/۰۰	۰/۱۰	۰/۰۰	۰/۱۰	۰/۱۰	۰/۰۰	۰/۰۰	۱۵/۰	۲۰/۰	۰/۰۰	۰/۰۰
Cr	۰/۰۰	۰/۰۰	۰/۰۰	۰/۰۰	۰/۰۰	۰/۰۰	۰/۰۰	۰/۰۰	-	-	-
Fe <sup>3+</sup>	۰/۳۰	۹۵/۱	۰/۴۰	۰/۶۰	۰/۱۰	۰/۸۰	۰/۲۰	-	-	۱۷/۰	۰/۷۰
Fe <sup>2+</sup>	۵۷/۱	۳۸/۱	۶۴/۱	۴۵/۱	۶۱/۱	۲۷/۲	۱۱/۲	۱۵/۱	۲۲/۳	۲/۰	۰/۱۰
Mn	۲۴/۰	۳۴/۰	۲۰/۰	۳۰/۰	۱۵/۰	۰/۹۰	۱۲/۰	۰/۰۰	۰/۳۰	۰/۰۰	۰/۰۰
Mg	۱۰/۰	۰/۸/۰	۱۳/۰	۱۱/۰	۱۴/۰	۴۷/۰	۵۱/۰	۴۰/۱	۵۵/۱	۰/۱۰	۰/۰۰
Ca	-	-	-	-	-	-	-	۰/۱۰	۰/۱۰	۳۰/۰	۳۶/۰
Na	-	-	-	-	-	-	-	۲۷/۰	۰/۲۰	۴۵/۱	۴۲/۱
K	-	-	-	-	-	-	-	۵۴/۱	۸۴/۱	۰/۳۰	۰/۲۰
Sum	۹۰/۶	۸۰/۶	۹۶/۶	۸۵/۶	۸۹/۶	۸۱/۷	۷۵/۷	۳۱/۱۵	۸۵/۱۵	۷۴/۵	۶۶/۵
Xmg	۰/۶۰	۰/۶۰	۰/۸۰	۰/۷۰	۰/۸۰	۱۷/۰	۲۰/۰	۵۰/۰	۵۵/۱	-	-
Alm	۳۸/۵۱	۱۱/۴۷	۴۰/۵۲	۶۹/۴۸	۷۶/۵۴	۰/۶۷۶	۸۴/۶۹	-	-	-	-
Prp	۲۱/۳	۷۶/۲	۴۰/۴	۶۰/۳	۵۰/۴	۳۳/۱۵	۰/۵۱۷	-	-	-	-
Gro	۱۸/۳۶	۴۹/۳۹	۱۱/۳۴	۰/۳۳۷	۷۳/۳۶	۷۲/۵	۷۱/۷	-	-	-	-
Sps	۱۷/۸	۱۴/۱۱	۸۴/۶	۹۶/۹	۸۹/۴	۸۳/۲	۱۸/۴	-	-	-	-
Or	-	-	-	-	-	-	-	-	-	۵۳/۱	۱۸/۱
Ab	-	-	-	-	-	-	-	-	-	۷۴/۸۱	۵۷/۷۸
An	-	-	-	-	-	-	-	-	-	۷۳/۱۶	۲۵/۲۰

جدول ۲ خلاصه نتایج دما - فشار سنجی به روشهای مختلف

گنیس‌ها		میکاشیست‌ها		روش دما سنجی یا دما - فشار سنجی	
P (kbar)	T (°C)	P (kbar)	T (°C)	دما سنجی تبادلی گارنت-بیوتیت	
-	۷۰/۶ تا ۶۴/۵	-	۴۹/۸ تا ۴۶/۸	دما - فشار سنجی گارنت-بیوتیت-پلازیوکلاز-کوارتز [۳۴] (GBPO)	
۱۳/۲ تا ۸/۴	۵۷/۰ تا ۵۳/۲	۷/۲ تا ۶/۵	۵۵/۱ تا ۵۴/۳	دما سنجی براساس مقدار Ti موجود در بیوتیت [۳۳]	
-	۶۵/۰ تا ۴۶/۰	-	۶۶/۰ تا ۴۵/۰	دما - فشار سنجی هورنبلند-پلازیوکلاز [۳۵]	
۱۰ تا ۹	۶۷/۳ تا ۶۱/۸	-	-		

جدول ۳ نتایج دماسنگی تبادل کاتیونی زوج بیوتیت- گارنت در سنگ‌های متاپلیتی منطقه شترکوه.

Samples	گنیس								میکاشیست	
	SM-1-3	SM-82	SM-27-5	SM-267	SM-53-2	SM-33-1	SM-53-2	SM-293	SM27-1	SM-123-1
Mg(Mg+ Fe <sup>2+</sup> )Grt	۰/۰۸	۰/۰۸	۰/۰۷	۰/۰۷	۰/۰۷	۰/۰۷	۰/۰۸	۰/۱۶	۰/۲۰	۰/۰۸
Mg(Mg+ Fe <sup>2+</sup> )Bt	۰/۳۳	۰/۳۴	۰/۳۴	۰/۳۲	۰/۳۳	۰/۳۲	۰/۳۳	۰/۴۹	۰/۵۰	۰/۲۸
KD	۵/۳۴	۶/۵۶	۶/۷۵	۶/۴۶	۶/۳۹	۷/۰۶	۵/۹۴	۵/۰۸	۴/۱۷	۴/۳۴
Alm	۰/۰۴	۰/۰۵	۰/۰۸	۰/۰۳	۰/۰۷	۰/۰۹	۰/۰۰	۰/۰۴	۰/۷۱	۰/۷۸
Sps	۰/۰۸	۰/۰۲	۰/۰۳	۰/۰۷	۰/۱۰	۰/۰۸	۰/۰۷	۰/۰۲	۰/۰۴	۰/۱۰
Prp	۰/۰۵	۰/۰۵	۰/۰۴	۰/۰۴	۰/۰۴	۰/۰۳	۰/۰۵	۰/۱۳	۰/۱۸	۰/۰۷
Grs	۰/۳۴	۰/۴۰	۰/۳۵	۰/۳۶	۰/۳۸	۰/۳۸	۰/۳۷	۰/۲۲	۰/۰۸	۰/۰۴
T(°C)B92-HW	۶۰۲	۵۸۹	۵۷۲	۵۶۶	۵۶۲	۵۴۷	۵۸۶	۶۴۵	۶۷۲	۶۰۸
T(°C)B92-GS	۵۴۵	۵۴۳	۵۲۵	۵۰۶	۴۹۶	۴۸۱	۵۲۹	۶۴۹	۶۷۹	۵۷۳
T(°C)Dasg91	۶۶۸	۲۲۳	۶۰۰	۶۲۵	۶۲۶	۶۰۸	۶۴۱	۶۶۸	۳۷۳	۱۰۴
T(°C)FS78	۵۹۷	۵۳۰	۵۲۱	۵۳۵	۵۳۷	۵۱۳	۵۶۲	۶۱۶	۷۲۲	۶۷۸
T(°C)HS82	۷۲۲	۶۷۱	۶۴۷	۶۶۴	۶۷۳	۶۴۷	۶۹۴	۷۰۰	۷۵۵	۶۹۵
T(°C)PL83	۵۹۳	۵۵۶	۵۵۱	۵۵۹	۵۶۰	۵۴۵	۵۷۴	۶۰۳	۶۵۴	۶۳۵
T(°C)T76	۶۱۱	۵۵۸	۵۵۱	۵۶۲	۵۶۴	۵۴۴	۵۸۳	۶۲۵	۷۰۱	۶۷۲
T(°C)HL77	۵۹۲	۵۴۶	۵۲۹	۵۴۹	۵۵۱	۵۳۳	۵۶۷	۶۰۴	۶۶۹	۶۴۴
T(°C)average	۶۱۶	۵۳۹	۵۶۳	۵۷۱	۵۷۱	۵۵۳	۵۹۲	۶۳۹	۶۵۳	۵۷۶

KD : ضریب توزیع Mg بین بیوتیت و گارنت که با استفاده از رابطه:

$$\text{Mg}(\text{Mg} + \text{Fe})_{\text{Grt}} \times \text{Mg}(\text{Mg} + \text{Fe})_{\text{Bi}} / (1 - \text{Mg}(\text{Mg} + \text{Fe})_{\text{Bi}}) \quad \text{KD} = (1 - \text{Mg}(\text{Mg} + \text{Fe})_{\text{Grt}})$$

Alm: آلماندن، Sps: اسپسارتین، Prp: پیروپ و Grs: گروسو لار اعضاء نهایی گارنت‌ها.

جدول ۴ نتایج دما فشارسنگی به روش GBPQ [۳۵] برای نمونه‌های متاپلیتی.

Sample	گنیس						میکاشیست		
	SM-82	SM-1-3	SM-27-5	SM-267	SM-33-1	SM-27-1	SM-293	SM-123-1	
Fe <sup>3+</sup> % in biotite	۰/۱۶	۰/۱۶	۰/۱۶	۰/۱۶	۰/۱۶	۰/۱۶	۰/۱۶	۰/۱۶	۰/۱۶
X <sub>alm</sub>	۰/۵۶	۰/۵۳	۰/۵۷	۰/۵۳	۰/۵۰	۰/۷۳	۰/۶۴	۰/۷۸	
X <sub>pyr</sub>	۰/۰۵	۰/۰۵	۰/۰۵	۰/۰۴	۰/۰۳	۰/۱۷	۰/۳۳	۰/۰۷	
X <sub>gros</sub>	۰/۳۸	۰/۳۴	۰/۳۶	۰/۳۶	۰/۳۸	۰/۰۷	۰/۲۲	۰/۰۴	
X <sub>sps</sub>	۰/۰۲	۰/۰۸	۰/۰۳	۰/۰۷	۰/۰۹	۰/۰۴	۰/۰۲	۰/۱۱	
X <sub>an</sub>	۰/۲۷	۰/۲۳	۰/۲۹	۰/۲۱	۰/۲۲	۰/۲۰	۰/۳۴	۰/۰۸	
X <sub>ab</sub>	۰/۷۲	۰/۷۶	۰/۷۰	۰/۷۸	۰/۷۷	۰/۸۰	۰/۶۶	۰/۹۱	
X <sub>or</sub>	۰/۰۱	۰/۰۲	۰/۰۱	۰/۰۱	۰/۰۱	۰/۰۱	۰/۰۰	۰/۰۱	
LnKd(Mg)	-۹/۹۵	-۲/۸۰	۰/۶۰	-۳/۱۰	-۲/۵۰	-۳/۲۱	۱/۷۰	-۱۱/۹۳	
LnKd(Fe)	-۱۵/۵۰	-۸/۱۵	-۶/۵۸	-۹/۰۰	-۸/۶۱	-۸/۰۵	-۳/۵۰	-۱۶/۶۰	
Pcalc(Mg)	۱۰/۵۰	۱۱/۵۰	۹/۰۰	۱۱/۱	۱۱/۱۱	۸/۵۰	۹/۸۳	۱۰/۳۷	
T(GB, °C)	۶۰۸	۶۲۴	۵۲۲	۵۸۳	۵۷۴	۶۰۳	۶۳۲	۶۲۲	
P(GBPQ, ave)	۱۰/۰	۱۲/۰	۹/۰	۱۲/۰	۱۱/۴	۸/۵	۹/۰	۹/۳	
P(GBPQ, Model 1)	۱۰/۵	۱۱/۵	۹/۰	۱۱/۵	۱۱/۱	۹/۵	۹/۷	۱۰/۳	
P(GBPQ, Model 2)	۹/۰	۱۲/۰	۹/۳	۱۲/۰	۱۱/۸	۷/۵	۸/۳	۸/۳	

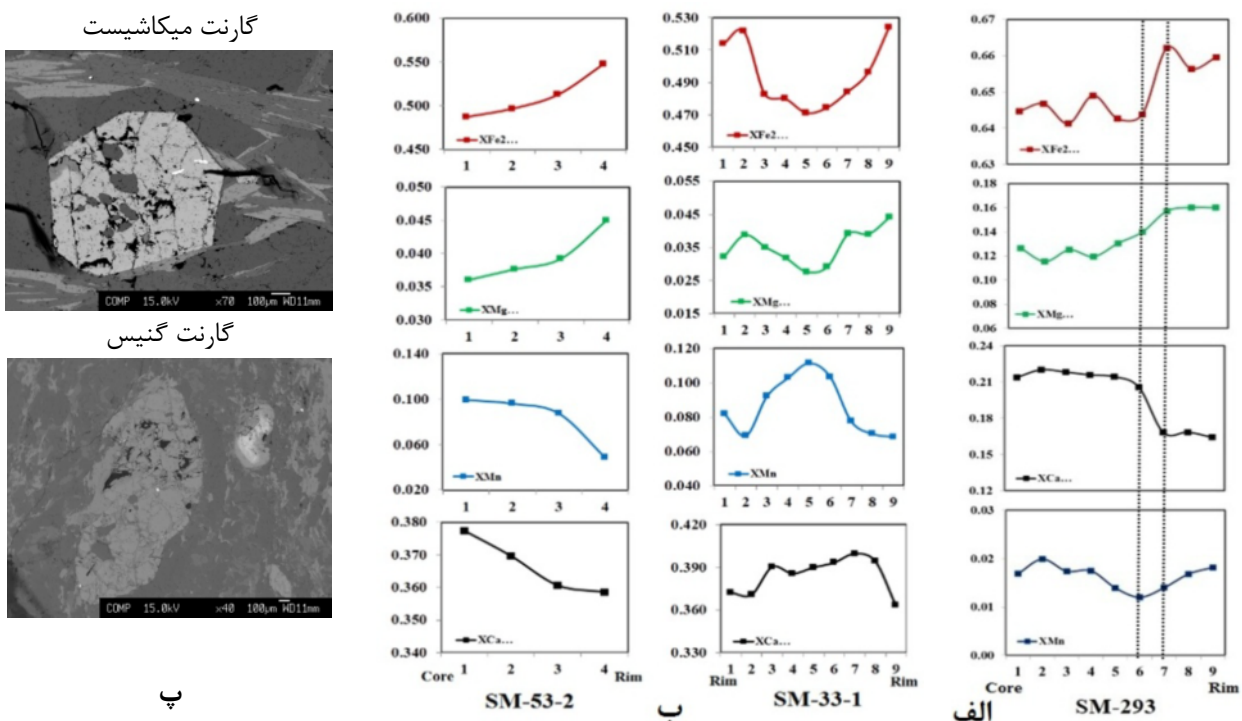
X<sub>alm</sub>: کسر مولی آلماندین در گارنت، X<sub>pyr</sub>: کسر مولی پیروپ در گارنت، X<sub>gros</sub>: کسر مولی گروسو لار در گارنت، X<sub>sps</sub>: کسر مولی اسپسارتین در گارنت، X<sub>an</sub>: کسر مولی آنورتیت در پلازیوکلاز، X<sub>ab</sub>: کسر مولی آلبیت در پلازیوکلاز، X<sub>or</sub>: کسر مولی ارتوز در پلازیوکلاز، LnKd(Mg): ضریب توزیع Mg بین بیوتیت و گارنت، LnKd(Fe): ضریب توزیع Fe بین بیوتیت و گارنت، Pcalc(Mg): فشار محاسبه شده بر اساس مقدار Mg، T(GB, °C): دمای محاسبه شده بر اساس زوج گارنت-بیوتیت، P(GBPQ, ave): فشار محاسبه شده بر اساس روش ۱ GBPQ، P(GBPQ, Model 1): فشار محاسبه شده بر اساس روش ۲ GBPQ، P(GBPQ, Model 2): فشار محاسبه شده بر اساس روش ۳ GBPQ.

جدول ۵ نتایج دما - فشارسنجی به روش زوج آمفیبول-پلازیوکلаз و Ti برای هورنبلندهای نمونه گنیسی هورنبلند دار.

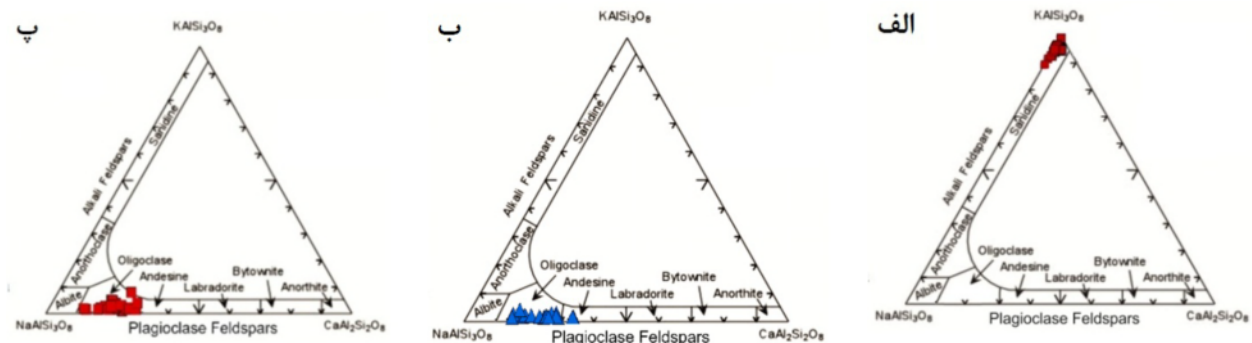
Sample No.	SM- 33-1											
SiO <sub>2</sub>	۳۹/۵	۳۹/۸	۴۰/۱	۴۰/۱	۴۰/۰	۴۰/۰	۴۰/۸	۴۰/۳	۴۰/۳	۴۰/۸	۴۰/۳	۴۰/۶
TiO <sub>2</sub>	۰/۷	۱/۰	۱/۱	۱/۱	۱/۰	۱/۰	۰/۹	۰/۹	۱/۰	۱/۰	۱/۰	۱/۰
Al <sub>2</sub> O <sub>3</sub>	۱۴/۵	۱۳/۷	۱۳/۹	۱۳/۸	۱۳/۵	۱۳/۶	۱۳/۸	۱۳/۹	۱۴/۰	۱۳/۸	۱۴/۱	۱۳/۷
FeO*	۲۳/۳	۲۳/۲	۲۳/۲	۲۳/۸	۲۳/۵	۲۳/۱	۲۳/۱	۲۳/۱	۲۳/۱	۲۳/۰	۲۲/۹	۲۳/۱
MgO	۴/۵	۴/۹	۵/۰	۵/۱	۵/۰	۵/۱	۵/۱	۵/۰	۵/۰	۴/۹	۴/۹	۴/۶
MnO	۰/۲	۰/۲	۰/۲	۰/۲	۰/۲	۰/۲	۰/۲	۰/۲	۰/۲	۰/۲	۰/۲	۰/۲
CaO	۱۱/۱	۱۱/۱	۱۱/۱	۱۱/۲	۱۱/۲	۱۱/۱	۱۱/۲	۱۱/۲	۱۱/۲	۱۱/۱	۱۱/۰	۱۱/۱
Na <sub>2</sub> O	۱/۳	۱/۲	۱/۳	۱/۵	۱/۴	۱/۳	۱/۴	۱/۴	۱/۲	۱/۴	۱/۳	۱/۲
K <sub>2</sub> O	۲/۱	۲/۰	۲/۱	۲/۱	۲/۱	۲/۰	۲/۱	۲/۰	۲/۱	۲/۱	۲/۱	۲/۰
Sum	۹۷/۲	۹۷/۲	۹۷/۹	۹۸/۰	۹۸/۰	۹۷/۵	۹۷/۵	۹۸/۰	۹۸/۰	۹۷/۲	۹۷/۹	۹۶/۶
X <sub>Ab</sub>	۰/۹	۰/۸	۰/۸	۰/۸	۰/۸	۰/۸	۰/۸	۰/۸	۰/۸	۰/۸	۰/۸	۰/۸
X <sub>An</sub>	۰/۱	۰/۲	۰/۲	۰/۲	۰/۲	۰/۲	۰/۲	۰/۲	۰/۲	۰/۲	۰/۲	۰/۲
T(oC)HB2	۶۱۸/۵	۶۶۲/۸	۶۶۵/۵	۶۷۳/۰	۶۶۹/۱	۶۶۶/۳	۶۵۹/۱	۶۶۱/۹	۶۵۱/۴	۶۶۵/۲	۶۵۹/۹	۶۵۰/۷
P(Kb) HB2	۱۰/۴	۹/۲	۹/۲	۸/۹	۸/۸	۹/۰	۹/۱	۹/۲	۹/۴	۹/۲	۹/۴	۹/۴
T(oC)Ti-hbld	۶۳۹/۶	۶۸۸/۳	۶۹۵/۳	۷۰۱/۸	۶۹۱/۵	۶۹۲/۲	۶۷۴/۶	۶۷۲/۴	۶۷۷/۷	۶۸۸/۱	۶۸۶/۴	۶۸۲/۰

جدول ۶ نتایج فشارسنجی به روش آمفیبول در نمونه‌های گنیسی هورنبلنددار.

Si	۶/۱۶	۶/۱۸	۶/۱۹	۶/۲۰	۶/۱۹	۶/۱۹	۶/۲۵	۶/۲۱	۶/۲۱	۶/۱۹	۶/۲۱	۶/۲۱
AlIV	۱/۸۱	۱/۸۲	۱/۸۱	۱/۸۰	۱/۸۱	۱/۸۱	۱/۷۹	۱/۷۹	۱/۷۹	۱/۸۱	۱/۷۹	۱/۷۹
AlVI	۰/۸۱	۰/۸۹	۰/۷۱	۰/۷۰	۰/۶۶	۰/۶۸	۰/۷۳	۰/۷۵	۰/۷۵	۰/۷۲	۰/۷۶	۰/۷۴
Ti	۰/۰۸	۰/۱۲	۰/۱۲	۰/۱۳	۰/۱۲	۰/۱۲	۰/۱۱	۰/۱۱	۰/۱۱	۰/۱۲	۰/۱۲	۰/۱۱
Cr	۰/۰۰	۰/۰۱	۰/۰۰	۰/۰۰	۰/۰۰	۰/۰۰	۰/۰۱	۰/۰۰	۰/۰۰	۰/۰۰	۰/۰۰	۰/۰۰
Fe <sup>3+</sup>	۰/۳۶	۰/۴۰	۰/۳۸	۰/۲۶	۰/۳۶	۰/۴۱	۰/۳۲	۰/۳۱	۰/۳۶	۰/۳۴	۰/۳۴	۰/۳۴
Fe <sup>2+</sup>	۲/۶۸	۲/۶۱	۲/۶۲	۲/۶۹	۲/۶۸	۲/۵۸	۲/۶۳	۲/۶۷	۲/۶۱	۲/۶۶	۲/۶۱	۲/۶۹
Mn	۰/۰۲	۰/۰۳	۰/۰۳	۰/۰۳	۰/۰۳	۰/۰۳	۰/۰۳	۰/۰۲	۰/۰۲	۰/۰۲	۰/۰۳	۰/۰۳
Mg	۱/۰۴	۱/۱۴	۱/۱۴	۱/۱۹	۱/۱۵	۱/۱۹	۱/۱۸	۱/۱۵	۱/۱۵	۱/۱۴	۱/۱۳	۱/۰۹
Ca	۱/۸۴	۱/۸۵	۱/۸۴	۱/۸۵	۱/۸۶	۱/۸۵	۱/۸۳	۱/۸۵	۱/۸۵	۱/۸۵	۱/۸۲	۱/۸۷
Na	۰/۳۹	۰/۳۸	۰/۳۹	۰/۴۶	۰/۴۱	۰/۳۹	۰/۴۱	۰/۴۲	۰/۳۵	۰/۴۱	۰/۳۹	۰/۳۵
K	۰/۴۳	۰/۴۰	۰/۴۱	۰/۴۱	۰/۴۲	۰/۳۹	۰/۴۰	۰/۴۰	۰/۴۰	۰/۴۱	۰/۴۱	۰/۴۰
Amphibole group	Ca	Ca	Ca	Ca	Ca	Ca	Ca	Ca	Ca	Ca	Ca	Ca
(Ca+Na) (B)	۲/۰۰	۲/۰۰	۲/۰۰	۲/۰۰	۲/۰۰	۲/۰۰	۲/۰۰	۲/۰۰	۲/۰۰	۲/۰۰	۲/۰۰	۲/۰۰
Na (B)	۰/۱۶	۰/۱۵	۰/۱۶	۰/۱۵	۰/۱۴	۰/۱۵	۰/۱۷	۰/۱۵	۰/۱۵	۰/۱۵	۰/۱۸	۰/۱۳
(Na+K) (A)	۰/۶۶	۰/۶۳	۰/۶۴	۰/۷۲	۰/۶۹	۰/۶۳	۰/۶۴	۰/۶۷	۰/۶۰	۰/۶۷	۰/۶۲	۰/۶۲
Mg(Mg+Fe+2)	۰/۲۸	۰/۳۰	۰/۳۰	۰/۳۱	۰/۳۰	۰/۳۱	۰/۳۱	۰/۳۰	۰/۳۱	۰/۳۰	۰/۳۰	۰/۲۹
Fe <sup>3+</sup> /(Fe <sup>3+</sup> +AlVI)	۰/۳۱	۰/۳۷	۰/۳۵	۰/۲۷	۰/۳۵	۰/۳۷	۰/۳۱	۰/۲۹	۰/۳۳	۰/۳۲	۰/۳۱	۰/۳۱
Amphibole names	Ferrotschermakite											
[37]	۹/۶	۹/۰	۹/۰	۸/۹	۸/۷	۸/۸	۸/۸	۹/۰	۹/۱	۹/۱	۹/۲	۹/۰
[38]	۹/۴	۸/۷	۸/۷	۸/۷	۸/۵	۸/۶	۸/۶	۸/۸	۸/۹	۸/۸	۸/۹	۸/۸
[39]	۱۰/۲	۹/۴	۹/۵	۹/۴	۹/۲	۹/۳	۹/۳	۹/۵	۹/۶	۹/۵	۹/۶	۹/۵
[40]	۷/۸	۷/۲	۷/۲	۷/۱	۷/۰	۷/۱	۷/۱	۷/۳	۷/۳	۷/۳	۷/۳	۷/۳



شکل ۵ نمودارهای ترکیبی تغییرات پورفیروبلاست‌های گارنت موجود در (الف) میکاشیست‌ها و (ب) گنیس‌ها، پ) تصویر الکترونی پرپراکنده از گارنت‌های موجود در گارنت میکاشیست و گارنت گنیس.



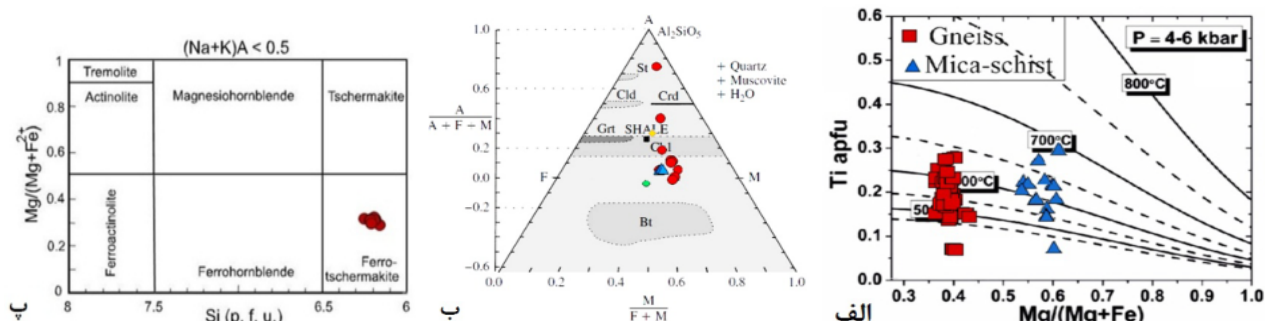
شکل ۶ موقعیت ترکیبی فلدسپارهای نمونه‌های گنیسی مجموعه شترکوه بر نمودار سه‌تایی طبقه بندی فلدسپارها [۳۲]، موقعیت ترکیبی (الف) ارتوكلاز یا میکروکلین، ب) پلازیوکلازهای نمونه‌های میکاشیستی و پ) پلازیوکلازهای نمونه‌های گنیسی.

بیوتیت‌های موجود در گارنت میکاشیست‌ها، دماهای بین ۴۵۰ تا ۶۶۰ °C و بیوتیت‌های موجود در گنیس‌ها، دماهای بین ۴۶۰ تا ۶۵۰ درجه سانتیگراد را نشان می‌دهند (شکل ۷ (الف)) که با دماهایی به دست آمده از دماسنجد زوج بیوتیت- گارنت برای گنیس‌ها همخوانی دارد. بر اساس روش دما - فشار سنجی هورنبلندر- پلازیوکلاز [۳۶] دماهای بین ۶۱۸ تا ۶۷۳ °C و ۹ کیلوبار تشكیل شده‌اند (شکل ۸). بنابراین، براساس مقادیر

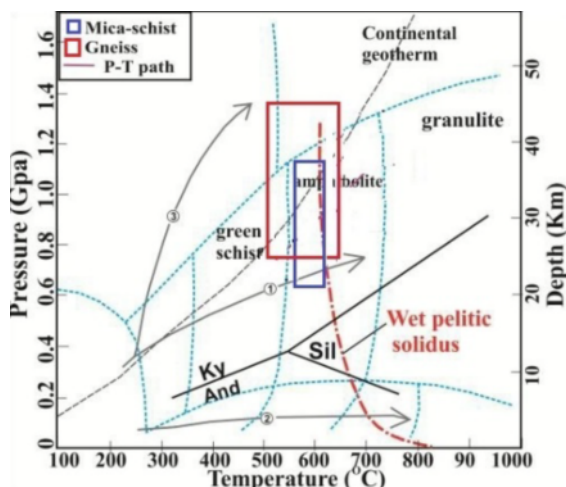
**دما - فشارسنجی**  
براساس روش دماسنجد تبادلی گارنت- بیوتیت [۳۴]، دماهای ۴۶۸ تا ۴۹۸ °C برای میکاشیست‌ها و دماهای ۶۴۵ تا ۷۰۶ °C برای گارنت‌گنیس‌ها به دست آمده است (جدول ۳). بر پایه روش دما - فشارسنجی گارنت- بیوتیت- پلازیوکلاز- کوارتز (GBPQ) [۳۵]، برای میکاشیست‌ها، فشارهای ۶/۵ تا ۷/۲ کیلوبار و دماهای ۵۴۳ - ۵۵۱ درجه سانتیگراد و برای گنیس-ها، فشارهای ۸/۴ تا ۱۳/۲ کیلوبار و دماهای ۵۳۲ - ۵۷۰ درجه سانتیگراد به دست آمده است (جدول ۴). با استفاده از روش دما سنجی براساس مقدار Ti موجود در بیوتیت [۳۴] (جدول ۵)،

- فشار رخساره آمفیبولیت‌میانی تا بالایی تشکیل شده‌اند. این نتایج به طور خلاصه در زیر ارائه شده است.

دما - فشار به دست آمده از روش‌های دما - فشار سنجی مختلف، گارنت‌میکاشیست‌ها در شرایط دما - فشار مرزی رخساره شیست‌سیز تا آمفیبولیت‌میانی و گارنت‌گنیس‌ها در شرایط دما



شکل ۷- (الف) نمودار  $Ti / (Mg + Fe)^{2/3}$  برآورد دمای تشکیل بیوتیت‌های میکاشیست‌ها و گنیس‌ها، (ب) موقعیت قرارگیری سنگ کل گونه‌های مورد بررسی بر نمودار AFM. پ- نمودار رده‌بندی آمفیبولهای موجود در گنیس‌ها بر اساس روش مرجع [۳۷].



شکل ۸ نمودار دما-فشار دگرگونی و گسترهای دما-فشار تعیین شده برای نمونه‌های میکاشیستی و گارنت‌گنیسی (مستطیلهای رنگی) در میدان پایداری کیانیت و مسیر دگرگونی پیشرونده بارووین فشار بالا.

۶۰۲ درجه سانتیگراد و فشار ۹ تا ۱۱ کیلوبار، همخوانی خوبی دارد [۴۰-۴۲].

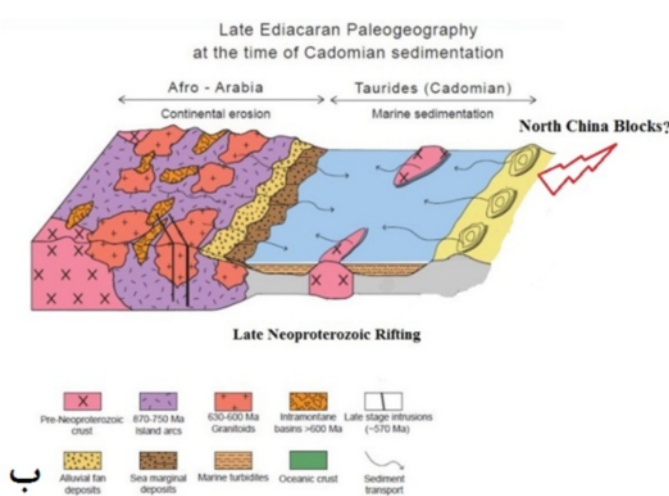
این گسترهای، با مسیرهای دما - فشار دگرگونی ناحیه‌ای پیشرونده دما - فشار متوسط نوع بارووین (در گستره دما - فشار رخسارهای شیست‌سیز تا آمفیبولیت) بهترین همخوانی را نشان می‌دهند. شواهد کانی‌شناسی و سنگ‌شناسی نیز این موضوع را تأیید می‌کند. همان‌گونه که در شکل ۹ دیده می‌شود، خط سیر رخداد دگرگونی، گستره دما و فشار پایداری کیانیت را قطع می‌کند و بر شیب متوسط (حدود  $20 \text{ km}/^{\circ}\text{C}$ ) دگرگونی کوهزادی منطبق است. مشاهده کیانیت در کیانیت-شیست‌ها و رگه‌های کوارتز - کیانیتی مجموعه دگرگونی دلبر (در شمال شرق مجموعه دگرگونی شترکوه) [۸]، شاهدی بر

#### مسیر دگرگونی متاپلیت‌ها

گسترهای دمایی به دست آمده از کالیبراسیون مختلف زوج گارنت-بیوتیت و فشارهای برآورد شده به روش GBPQ [۳۵] برای این سنگ‌ها نشان می‌دهد که میکاشیست‌ها در دماهای ۵۶۷ تا ۶۴۱ درجه سانتیگراد و فشارهای ۶ تا ۱۱ کیلوبار و گارنت‌گنیس‌ها در دماهای ۴۵۷ تا ۶۳۹ درجه سانتیگراد و فشارهای ۷ تا ۱۳ کیلوبار یعنی در پایان رخساره شیست‌سیز تا رخساره آمفیبولیت بالایی و شاید گرانولیت، دگرگون شده‌اند. گسترهای دما - فشار به دست آمده برای متاپلیت‌های منطقه شترکوه (شکل ۸) (که در آنها سایر ملاحظات زمین‌شناسی نیز مورد توجه قرار گرفته است) با شرایط دما و فشار به دست آمده برای متابازیت‌های همراه آنها در مجموعه شترکوه (دما ۷۱۱ -

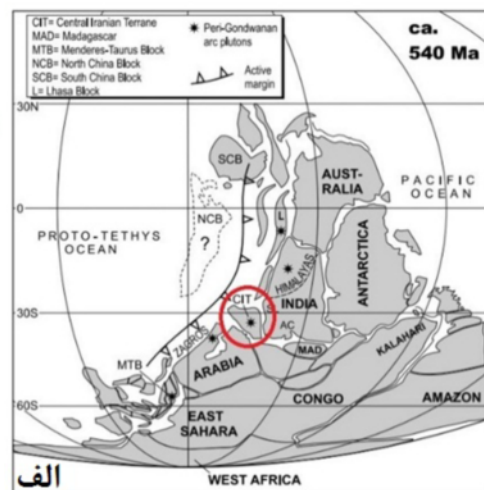
شاهد بارز رخداد این فرایند است. به علاوه، از آنجا که سنگ‌های متابلیتی موردنظر در بسیاری از موارد، میلیونیتی شده‌اند، لذا نشانه‌های بارزی از دگریختی فلدسپارها به شکل تبدیل، ارتوز به میکروکلین مشاهده می‌شود. شواهد دیگر میلیونیت‌زایی، چون تشکیل ریزدانه، شکل‌های ماهیگون در میکاها و فلدسپارها و شکل‌های سیگما و دلتا در بلورهای شکننده و سخت مانند فلدسپارها [۴۳] در مقاطع نازک متابلیت‌ها به‌وضوح دیده می‌شوند. با توجه به سن حدودی ۵۴۰ میلیون سال برای این سنگ‌ها و مناطق نزدیک آنها [۸، ۹، ۴۴، ۴۵]، تحولات دگرگونی و آذرین مورد نظر در اواخر نئوپروتروزوئیک یا به عبارتی پروتروزوئیک پایانی صورت گرفته است.

با توجه به بررسی‌های صحرایی و سنگنگاری می‌توان گفت که متابلیت‌ها، متابسیمیت‌ها، متابگریوک‌ها، متاکربنات‌ها و متابازیت‌ها از گروههای اصلی ترکیبی سنگ‌های دگرگونی منطقه شترکوه هستند. با توجه به حضور قابل‌توجه بیوتیت، گارنت و فلدسپار قلیایی پتاسیم به ویژه ارتوز در متابلیت‌ها و نبود کانی‌های آلومینوسیلیکاته شاخص نظیر آندالوزیت و کیانیت، سنگ‌های مادر متابلیت‌ها از آلومینیوم فقیر بوده‌اند و حتی می‌توان بخشی از آنها را نیمه‌پلیت یا شبه‌پلیت در نظر گرفت.



حاکم بودن شرایط دما – فشار تقریباً مشابه طی تشکیل سرزمین‌های دگرگونی پی‌سنگی مجاور مجموعه دگرگونی شترکوه است. مسیر دما و فشار مورد نظر، با افزایش دما و فشار انجماد مرتبط سنگ‌های پلیتی را قطع کرده و شرایط را برای تشکیل مذاب‌های گرانیتی فراهم می‌کند [۲۸]. به طور مشابه، رخداد دگرگونی ناحیه‌ای صورت گرفته در مجموعه شترکوه، تا رسیدن به درجه ذوب بخشی سنگ‌ها پیش‌رفته است و با فرایند ذوب‌بخشی پوسته‌ای (در اوج رخداد دگرگونی ناحیه‌ای) و ایجاد مذاب‌های آناتکتیک، میگماتیت‌زایی و در نهایت، گرانیت‌زایی کوچک‌مقیاس همراه بوده است. شواهدی از قبیل نواریندی یا نواری‌شدن در گنیس‌ها به عنوان پیامد جدایش دگرگونی، بسته‌ها (Patches) و رگه‌های غنی از کوارتز و فلدسپار که گاه چین خورده‌اند (چین‌های تیگماتی) و میگماتیت‌های استروماتیتی و نبولیتی در سنگ‌های متابلیتی منطقه مورد بررسی، از شواهد صحرایی بارز این پدیده هستند. نخستین مذاب‌های ایجاد شده (لوکوسوم)، معمولاً از انباشت کوارتز + فلدسپار قلیایی (ارتوز و/یا میکروکلین) تشکیل شده‌اند.

با توجه به حضور گسترده بیوتیت در سنگ‌های گنیسی و کمبود یا نبود آن در گرانیت‌ها و لوکوگرانیت‌ها، می‌توان گفت که ذوب‌بخشی سنگ‌های متابلیتی از طریق شکست و آبزدایی بیوتیت انجام شده است. حضور گسترده فلدسپارهای پتاسیک مانند میکروکلین و ارتوز پرتیتی در گرانیت‌ها و لوکوگرانیت‌ها،



شکل ۹ الف موقعیت سرزمین‌های افریقاًی – عربی اواخر نئوپروتروزوئیک و حوضه رسوی (دریایی – اقیانوسی) واقع در نزدیکی آن (به احتمال زیاد واقع در بخش شمالی شرقی آن). این حوضه رسوی و فعالیت‌های ماقمایی هم‌زمان با تشکیل آن و فرایند بسته شدن و دگرگون شدن سنگ‌های آن و در نهایت رسیدن تا آستانه ذوب بخشی، تجسم ساده‌ای از دگرگونی‌هایی است که در اواخر نئوپروتروزوئیک در سرزمین ایران رخداده است برگرفته از [۴۶] با اندکی تغییرات. ب - نقشه جغرافیای دیرینه کره زمین در حدود ۵۴۰ میلیون سال پیش. موقعیت احتمالی سرزمین ایران در آن زمان توسط یک بیضی مشخص شده است [۴۷].

می‌رسد که بخش‌هایی از سرزمین‌های همسن با سپرهای عربی (slices) نوبی در صورت وجود در ایران باید به شکل قطعه (slices) زمین‌ساختی در بین مجموعه سنگ‌های دگرگونی نئوپروتروزوئیک حضور داشته باشد که اثبات آن، نیازمند بررسی‌های صحرایی و سن‌سنگی بیشتر و دقیق‌تر است.

شواهد سنگی مانند غالب بودن توالی سنگی شیلی- ماسه- سنگی اولیه در برخی از مجموعه‌های سنگی چون دلبر [۸] و شترکوه در جنوب و شرق شاهرود، بنه شورو و تاشک در شرق ساغند [۵۱]، حضور توالی‌های تبخیری در مجموعه‌های دگرگونی سری هرمز [۵۲]، غالب‌بودن اجتماعات دایکی دیابازی در مجموعه دگرگونی بندهزارچاه [۹]، تاشک و نی‌باز [۵۱]، فراوانی متابازالت‌ها (یا به عبارت کلی تر متابازیت‌ها) و متاریولیت‌ها در مجموعه سنگی ماجراد [۵۳، ۵۲]، برنورد [۵۴]، بافق- بهباد [۵۵]، و زرنده- کوهبنان [۵۶]، فراوانی متاکربنات‌ها در مجموعه‌های دگرگونی ماجراد، نی‌بار، تاشک و زمان‌آباد، وجود پریدوتیت‌ها، کرومیتیت‌ها و بازالت‌های میان اقیانوسی در مجموعه‌های سنگی جندق [۵۷] و چاپدونی [۵۱]، از ویژگی‌های بارز مجموعه‌های سنگی نئوپروتروزوئیک در ایران هستند. البته، فرآورده‌های دگرگونی درجه بالا مانند میگماتیت‌ها، گرانیت‌وئیدها و جدایش یافته‌های آپلیتی و پگماتیتی غنی از تورمالین به همراه کانسارهای غنی از آهن، سرب، روی، اورانیم و ... را نیز باید به این ویژگی‌ها افزود.

با توجه به ماهیت سنگ‌های مادر متابازیتی (روانه‌های بازالتی، انباسته‌های دایکی و سیل‌های دیابازی، توده‌های نفوذی الیوین گایبرویی تا کوارتز دیبوریتی کوچک مقیاس) و متاپلیتی، متاپسامیتی و متاکربناتی بخش‌های مختلف مجموعه دگرگونی شترکوه، می‌توان گفت که توالی شیلی، ماسه‌سنگی به همراه میان لایه‌های کربناتهای تا کربنات‌های ضخیم بخش‌بالای توالی سنگی اولیه در شرایطی تشکیل شده‌اند که حوضه رسوی برسترهای با پوسته قاره‌ای قرار داشته است و در ضمن کشش‌های همزمان با بازشدنگی، شرایط مساعدی را برای تشکیل و صعود ماقماهای بازی و جایگیری آنها به صورت‌های مختلف (توده‌های نفوذی کوچک، دایک، سیل و روانه‌های بازالتی) در این دنباله سنگی فراهم ساخته است. این وضعیت زمین‌ساختاری و ژئودینامیکی، شرایط لازم را برای ذوب‌بخشی گوشته زیر لیتوسفر قاره‌ای، تولید مذاب‌های بازیک و در نهایت، صعود و جایگیری آنها در توالی سنگی اواخر نئوپروتروزوئیک فراهم کرده است. شواهد سنگنگاری از جمله حضور کانی‌های سیلیکات‌های مافیک عمده‌تاً کم آب (مثل الیوین و کلینوپیروکسن- اوژیتی) و حضور کانی‌های مافیک پتاسیم‌دار (مثل فلوگوپیت) در توده‌های سنگی الیوین گایبرویی و غنی‌بودن این سنگ‌ها از

دما فشارسنگی‌های انجام شده بر پایه داده‌های حاصل از تجزیه‌های ریزپردازشی بر سنگ‌های متابازیتی (دماهای  $457^{\circ}\text{C}$  تا  $461^{\circ}\text{C}$  و فشارهای ۶ تا ۱۳ کیلوبار) و متابازیتی (دماهای  $602^{\circ}\text{C}$  تا  $711^{\circ}\text{C}$  و فشارهای ۹ تا ۱۱ کیلوبار) مورد بررسی نشان می‌دهند که این سنگ‌ها در شرایط دمایی رخساره شیست‌سierz، آمفیبولیت تا آمفیبولیت بالایی و حتی اوایل رخساره گرانولیت، دستخوش دگرگونی نوع بارووین شده‌اند.

اجتماع سنگ‌های متابازیتی، متاپسامیتی، متاکربناته و متاپلاریتی، بیانگر تشکیل سنگ مادر مجموعه دگرگونی شترکوه در حوضه‌های کششی درون قاره‌ای است که حتی تا مراحل آغازین تشکیل پوسته‌اقیانوسی نیز پیش‌رفته است. با نگاهی فraigir به مجموعه‌های سنگی آذرین- دگرگونی اواخر نئوپروتروزوئیک در ایران، می‌توان شواهد سنگی مربوط به مراحل اولیه کافتزایی تا مرحله اقیانوسی شدن (همانند آنچه امروزه بر دریای سرخ و شرق آفریقا حاکم است) را در آنها مشاهده کرد. شاید بتوان وضعیت کنونی حوضه دریایی- اقیانوسی سرخ [۴۶] را با آنچه در نئوپروتروزوئیک پایانی رخداده است، قابل مقایسه دانست.

دریای سرخ، از سمت شمال، یک حوضه دریایی کم عمق درون قاره‌ای است. در بخش‌های میانی به سمت جنوب، یک حوضه دریایی به نسبت عمیق و پیشرفته است و از سمت جنوب و جنوب‌شرق (خلیج عدن)، به یک حوضه اقیانوسی وسیع (هند) راه پیدا می‌کند. در دو سوی این حوضه دریایی- اقیانوسی، حاشیه‌های غیرفعال قاره‌ای وجود دارند. با توجه به شکل‌های ۹ الف و ب، سرزمین‌هایی گندوانایی ایران نیز پیامد مجموعه‌ای از تحولات رسوی جوانتر از ۶۰۰ میلیون سال هستند که در حوضه‌های رسوی جوانتر از ۹ (شکل ۹ ب) در واقع در حاشیه شمالی سپرهای عربی- نوبی (شکل ۹ ب) در ارتباط با اقیانوس پروتوتیس و کوهزایی کادومین در اواخر نئوپروتروزوئیک (شاخه ایران - آناتولی) صورت گرفته است [۲۳]. سن‌سنگی به روش U-Pb برروی زیرکن‌های جدا شده از سنگ‌های این مجموعه‌های دگرگونی که توسط پژوهشگران مختلف انجام شده است [برای مثال ۴، ۵، ۷، ۴۸، ۴۹، ۵۰، ۵۱]، نشان می‌دهد که سن‌های بیش از ۵۵۰ میلیون سال فقط در میکاشیستها و به عنوان سن هسته‌های موروشی زیرکن‌ها گزارش شده است و تاکنون برای سرزمین‌های ایران سن مستقل بیش از ۶۰۰ میلیون سال گزارش نشده است. از این رو، سرزمین‌های بی‌سنگی همسن با سپرهای عربی- نوبی تا کنون در ایران گزارش نشده‌اند و یا دست کم وجود قطعی چنین سرزمین‌هایی در ایران هنوز گزارش نشده است. به نظر

فرایند دگرگونی دینامیکی بعدی (میلونیت‌زایی)، از شواهد و نشانه‌های دگرگونی تاحیه‌ای بارووین اصلی، ریشه گرفته است. بازنگری بررسی‌های پیشین، نیازمند توجه همه‌جانبه به همه فرایندهای دگرگونی و دگریختی و پیچیدگی‌های تحولات‌زمین‌شناختی این مناطق (رسوب‌گذاری، فعالیت مagmaی، دگرگونی و زمین‌ساخت) در بستر زمان است.

#### برداشت

مجموعه دگرگونی – آذرین شترکوه طیفی از سنگ‌های دگرگونی شامل متاپلیت‌ها، متاپسamtیت‌ها، متاکربنات‌ها و متاپازیت‌ها را در بر می‌گیرد. بر اساس شواهد صحرایی و سنگ‌نگاری، متاپلیت‌ها طیفی متنوعی از سنگ‌ها از جمله فیلیت، میکاشیست، گارنت‌میکاشیست، گنیس، گارنت‌گنیس و میگماتیت را شامل می‌شود. متاپلیت‌ها در گستره دمایی ۴۵۷ تا ۶۴۱ درجه سانتیگراد و گستره فشاری ۶ تا ۱۳ کیلوبار منطبق بر رخساره‌های شیست‌سیز تا آمفیبولیت بالایی و اوایل رخساره گرانولیت در یک نظام دگرگونی نوع بارووین معمول، تشکیل شده‌اند.

نتایج سن‌سنجدی به روش اورانیم – سرب بر روی زیرکن‌های استخراج شده از متاپلیت‌ها به ویژه گنیس‌ها، گستره سنی آنها را بین ۵۴۸ تا ۵۷۹ میلیون سال (برابر اوخر نئوپروتروزونیک – معادل با ادیاکارن) و گستره سنی کل مجموعه دگرگونی را بین ۵۲۶ تا ۵۸۷ میلیون سال نشان می‌دهد. بر پایه مجموع بررسی‌های زمین‌شناسی، می‌توان گفت که سنگ‌های مادر مجموعه دگرگونی شترکوه، در اوخر نئوپروتروزونیک، در یک رژیم زمین‌ساخت کششی که بر سرزمین‌های شمال گندوانا حاکم بوده و به تشکیل حوضه‌های دریایی – اقیانوسی (شاخه ایران – آناتولی اقیانوس پروتوتیس) منجر شده است، تشکیل گردیده‌اند. سپس، این حوضه‌ها در بازه‌زمانی کوتاه و طی یک رژیم زمین‌ساختی تراکمی (کوهزایی کادومین)، به سرعت بسته شده‌اند و به صورت آمیزه‌های زمین‌ساختی یا منشورهای بهم افزوده بر روی پوسته قاره‌ای قدیمی ایران زمین، رانده شده‌اند.

#### مراجع

- [1] Hassanzadeh J., Stockli D., Horton B., Axen G., Stockli L., Grove M., Shmitt A., Walker D., "U-Pb zircon geochronology of late Neoproterozoic – Early Cambrian granitoids in Iran: Implications for paleogeography, magmatism, and exhumation history of Iranian basement", Tectonophysics 451(2008), p 71–96.
- [2] Rahmati-Ilkhchi M., Faryad S. W., Holub F.V., Košler J., Frank W., "Magmatic and metamorphic

عناصر سنگ‌دست بزرگ‌یون، می‌توانند شواهدی از یک خاستگاه گوشه‌ای متاسوماتیسم شده، نرخ ذوب بخشی کم تا متوسط و آلایش مذاب‌های بازیک مادر آنها با پوسته قاره‌ای باشند [۴۱]. سنگ‌های بازیک مادر آنها سازنده آنها دارای ماهیت گوشه‌ای زیر سنگ‌کره قاره‌ای هستند، در نمودارهای تعیین جایگاه زمین‌ساختی، عموماً در قلمرو بازالت‌های جزایر اقیانوسی (OIB) واقع می‌شوند، زیرا ویژگی‌های کانی‌شناختی، زمین‌شیمیایی و شرایط دما- فشار حاکم بر ذوب‌بخشی این محل منبع‌های گوشه‌ای، مشابه هستند [۶۲-۵۸]. با توجه به موارد یاد شده، می‌توان گفت که توالی سنگی مولد مجموعه دگرگونی – آذرین شترکوه ابتدا در یک حوضه کششی درون قاره‌ای محدود تشکیل شده و سپس، طی یک فرایند بسته شدن از نوع برخورد قاره- قاره، به مجموعه‌ای از سنگ‌های دگرگونی مختلف تبدیل شده است. شواهد صحرایی، سنگ-نگاری و دما- فشارستجی نشان می‌دهند که شدت دگرگونی این مجموعه تا اواخر رخساره آمفیبولیت- ابتدای رخساره گرانولیت پیش‌رفته و به آستانه ذوب‌بخشی، میگماتیت‌زایی و تشکیل مذاب‌های گرانیتی در متاپلیت‌ها و مذاب‌های توپالیتی/ پلازیوگرانیتی در متاپازیت‌ها رسیده است. درنهایت، همه توالی دگرگونی، دستخوش دگریختی و دگرگونی دینامیکی (میلونیت‌زایی) شده‌اند و به صورت شیست، گنیس، آمفیبولیت، آپلیت، پگماتیت و لوکوگرانیت‌های دگریخت شده یا میلونیتی شده (شکل ۲)، رخنمون یافته‌اند.

گستره سنی به دست آمده برای متاپازیت‌ها ۵۴۸ تا ۵۳۴ میلیون سال)، متاپلیت‌ها ۵۲۶ تا ۵۸۷ میلیون سال) مجموعه دگرگونی شترکوه، نشان می‌دهد که فرایندهای دگرگونی این مجموعه به رخداد کوهزادی کادومین (معادل با اوخر نئوپروتروزونیک یا اشکوب ادیاکارن) در سرزمین‌های گندوانایی شمال ابرقاره گندوانا، مرده است [۶۳]. در پایان باید گفت که در بررسی‌های پیشین پیرامون این مجموعه [۶۴] و مجموعه‌های مشابه [۱، ۶۵]، در ایران، به رخدادهای تدریجی و تحولی بین سنگ‌های دگرگونی توجه کافی نشده است و بخش عمدتی از سنگ‌های مادر دگرگونی را سنگ‌های آذرین (چون گرانیت و گرانوپیوریت) دانسته‌اند که در اثر دگرگونی دینامیکی به ارتوگنیس‌های چشمی میلونیتی تبدیل شده‌اند [۲]، در حالی- که شواهد و مدارک صحرایی و زمین‌شیمیایی، طبیعت دگرگونی سنگ مادر آنها را به خوبی روشن می‌سازد. این فرض نادرست در تفکیک واحدهای سنگی در راهنمای نقشه زمین- شناسی در ۱ رزه ۱۰۰۰۰ [۶۶] به روشنی دیده می‌شود. بخش عمدتی از این اشتباهات، از جدا نکردن شواهد، نشانه‌های

- [12] Ali K.A., Jeon H., Andresen A., Li S.Q., Harbi H.M., Hegner E. "U-Pb zircon geochronology and Nd-Hf-O isotopic systematics of the Neoproterozoic Hadb adh Dayheen ring complex, Central Arabian Shield, Saudi Arabia", *Lithos* 206–207 (2014), 348–360.
- [13] Khalifa M.A., "The Ediacaran–Cambrian and Ordovician rocks of Al Qasim Province, Saudi Arabia: Facies, depositional history and regional correlation", *Journal of African Earth Sciences* 109 (2015), 263–282.
- [14] Harbi H.M., Ali K.A., Eldougoug A.A., Al-Jahdli N.S., "Geochemistry and U-Pb zircon dating constraints of some plutonic rocks along Bir Tawilah shear zone, central Saudi Arabia: Implication for magma petrogenesis and age of gold mineralization", *Chemie Erde – Geochemistry*, 76, 2, (2016), 309–324.
- [15] Faryad S.W., Collett S., Finger F., Sergeev S.A., Čopjaková R., Siman P., "The Kabul Block (Afghanistan), a segment of the Columbia Supercontinent, with a Neoproterozoic metamorphic overprint", *Gondwana Research*. 34, (2015), 221–240.
- [16] Collett S., "Crustal evolution in the Paleoproterozoic of Afghanistan: Insights from the Sherdarwaza gneiss of the Kabul Block. Masters Dissertation", University of Leicester (2011) 74pp.
- [17] Brasier M., McCarron G., Tucker R., Leather J., Allen P., Shields G., "New U-Pb zircon dates for the Neoproterozoic Ghubrah glaciations and for the top of the Hugf Supergroup, Oman", *Geology*, 28, 2, (2000), 175–178.
- [18] Bowring S.A., Grotzinger J., Condon D.J., Ramezani J., Newall M.J., Allen P.A., "Geochronologic constraints on the chronostratigraphic framework of the neoproterozoic HUQF supergroup, Sultanate of Oman", *American Journal of Science*, 307 (2007) 1097–1145.
- [19] Gürsu S., Möller A., Göncüoglu M.C., Köksald S., Demircane H., Köksalc F.T., Kozluf H., Sunal G., "Neoproterozoic continental arc volcanism at the northern edge of the Arabian Plate, SE Turkey", *Precambrian Research* 258, (2015), 208–233.
- [20] Beyarslan M., Lin Y.C., Bing A.F., Chung S.L., "Zircon U-Pb age and geochemical constraints on the origin and tectonic implication of Cadomian (Ediacaran-Early Cambrian) magmatism in SE Turkey", *Journal of Asian Earth Sciences*, (2016). <http://dx.doi.org/10.1016/j.jseaes.2016.08.006>.
- [21] Whitehouse M. G., Windley B. F., Stoesser D. B., Al-Khirbush S., Ba-Bttat M.A.O., Haider A., "Precambrian basement character of Yemen and evolution of the Shotur Kuh metamorphic complex (central Iran)", *Int. J. Earth. Sci.* 100 (2011), 45–62.
- [3] Shafaii Moghadam H., Khademi M., Hu H., Stern R. J., Santos J.F., Wu Y., "Cadomian (Ediacaran Cambrian) arc magmatism in the ChahJam–Biarjmand Metamorphic Complex (Iran): magmatism along the northern active margin of Gondwana", *Gondwana Research* 27(1) (2013), 439–452.
- [4] Balaghi Z., Sadeghian M., Ghasemi H., Zhai M.G., Mohajel M., "Zircon U-Pb ages, Hf isotopes and geochemistry of the schists, gneisses and granites in Delbar Metamorphic-Igneous Complex, SE of Shahrood (Iran): implications for Neoproterozoic geodynamic evolutions of central Iran", *Journal of Asian Earth Sciences*, 92 (2014), 92–124.
- [5] Hosseini S.H., Sadeghian M., Zhai M., Ghasemi H., "Petrology, geochemistry and zircon U-Pb dating of Band-e-Hezarchah metabasites (NE Iran): An evidence for back-arc magmatism along the northern active margin of Gondwana. Chemie Erde", *Geochemistry*, 75 (2015), 207–218.
- [6] Shafaii Moghadam H., Li H. X., Stern R. J., Ghorbani G., Bakhshizad F., "Zircon U-Pb ages and Hf-O isotopic composition of migmatites from the Zanjan – Takab complex, NW Iran: Constraints on partial melting of metasediments", *Lithos* (240–243) (2016), 34–48.
- [7] Shafaii Moghadam H., LiH. X., Stern R. J., Santos J.F., Ghorbani G., Pourmohsen M., "Age and nature of 560–520 Ma calc-alkaline granitoids of Biarjmand, northeast Iran", insights into Cadomian arc magmatism in northern Gondwana, *International Geology Review* (2016), <http://dx.doi.org/10.1080/00206814.2016.1166461>.
- [8] Balaghi Einalou M., "Petrology and geochemistry of Delbar metamorphic-igneous complex, Biarjomand region (Southeast of Shahrood)", PhD thesis, Shahrood University of Technology, Shahrood, Iran (2014), (in Persian).
- [9] Hosseini S.H., "Petrology, geochemistry and geochronology of Band-e-Hezarchah granitoids (SE Shahrood)", PhD thesis, Shahrood University of Technology, Shahrood, Iran (2015), (in Persian).
- [10] Safarzadeh E., Masoudi F., Hassanzadeh J., Pourmoafi S. M., "The presence of Precambrian basement in Gole Gohar of Sirjan (south of Iran)", *Petrology*, 7 th Year, No. 26, (2016) 153–170.
- [11] Mousavi Nejadsoogh S., Nasrabad M., Nozaim R., Davoodi Z., "Thermobarometry and tectonic setting of Precambrian metamorphic basement of Central Iran in the Lakh Bargheshi area (southwest of Bardaskan, Khorasan Razavi)", *Petrology*, 7th Year, No. 26, ( 2016), 186-171.

- [35] Wu C., Zhang J., Ren L., "Empirical Garnet-Biotite-Plagioclase-Quartz (GBPQ) geobarometry in medium to high-grade metapelites", *Journal of Petrology* 45, (2004), 1907–1921.
- [36] Anderson J. L., "Status of thermobarometry in granitic batholiths: *Transactions of the Royal Society of Edinburgh*", v. 87, (1996), 125-138. [Also published in GSA Special Paper 315]
- [37] Schmidt M.W., "Amphibole composition in tonalite as a function of pressure: An experimental calibration of the Al-in-hornblende barometer", *Contributions to Mineralogy and Petrology* 110, (1992), 304-310.
- [38] Hammarstrom J. M., Zen E. A., "Aluminum in hornblende: An empirical igneous geobarometer", *American mineralogist* 71, (1986), 1297-1313.
- [39] Hollister L.S., Grissom G.e., Peters E.K., Stowell H. H., Sisson V.R., "Confirmation of the empirical correlation of Al in hornblende with pressure of solidification of calc-alkaline plutons", *American Mineralogist* 72, (1987), 231-239.
- [40] Johnson M.e., Rutherford M.J., "Experimental calibration of the aluminum-in-hornblende geobarometer with application to Long Valley caldera (California)", *Geology* 17,(1989), 837-841.
- [41] Leake B. E., Woolley A. R., ArpsC. E. S., Birch W. D., Gilbert M. C., Grice J. D., Hawthorne F. C., Kato A., Kisch H. J., Krivovichev V. G., Linthout K., Laird J., Mandarino J. A., Maresch W. V., Nickel E. H., Rock N. M. S., Schumacher J. C., Smith D. C., Stephenson N. C. N., Ungaretti L., Whittaker E. J. W., Youzhi G., "Nomenclature of amphiboles: report of the subcommittee on amphiboles of the International Mineralogical Association, Commission on new minerals and mineral names", *Canadian Mineralogist* 35, (1997), 219–246.
- [42] Shekari S., Sadeghian M., Zhai M., Ghasemi H., Zou Y., "Mineral chemistry and petrogenesis of metabasites of Shotor-Kuh metamorphic -igneous complex (SE Shahrood) as an indicator for evolution of intracontinental extensional basins of late Neoproterozoic", *Scientific Quarterly Journal, GEOSCIENCES*, Vol. 27, No.105, (2017), 167-182.
- [43] Trouw R.A.j., Passchier C.W., Wiersma D.J., "Atlas of mylonites and related microstructures", Springer (2010), 322 p.
- [44] Balaghi Einalou Z., Sadeghian M., Ghasemi H., "Mineralogy, Geochemistry and Thermobarometry of Garnet-Amphibolites in Delbar Metamorphic Complex, Biarjmand (Southeast of Shahrood)", *Iranian Journal of Crystallography and Mineralogy* 23, no. 3 (2015), 479-494.
- correlations with Saudi Arabia and Somalia", Precambrian Research 105, (2001), 357–369.*
- [22] Andresen A., Augland L.E., Boghdady G.Y., Lundmark A.M., ElnadyO.M., Hassan M.A., Abu El-Rus M.A., "Structural constraints on the evolution of the Meatiq Gneiss Dome (Egypt), East-African Orogen", *Journal of African Earth Sciences* 57, (2010), 413–422.
- [23] Sadeghian M., Hosseini S. H., Hemmati A., Shekari S., "Petrology, geochemistry and geochronology of SW Mayamey granitoids", *Scientific Quarterly journal, Geosciences*, 26, 103, (2017) 61-72.
- [24] Clemens J.D., Vielzuef D., "Constraints on melting and magma production in the crust", *Earth Planet. Sc. Lett.* 86, (1987), 287–306.
- [25] Le Breton N., Thompson A.B., "Fluid-absent (dehydration) melting of biotite in metapelites in the early stages of crustal anatexis", *Contributions to Mineralogy and Petrology* 99, (1988), 226-237.
- [26] Gardien V., Thompson A.B., Grujie D., Ulmer P., "Experimental melting of biotite, plagioclase, Quartz, muscovite assemblages and implications for crustal melting". *J. Geophy. Res.* 100, (1995), 15581–15591.
- [27] Verma P., Sengupta S., Chaddh D.K., Pant N.C., "Dehydration melting studies in a 'Kyanite terrain, Manali, NW Himalayas", *Journal of Asian Earth Sciences* 25, (2005), 345–366.
- [28] Chen G. N, Grapes R., "Granite Genesis: In-Situ Melting and Crustal Evolution", published by springer (2007), 273p.
- [29] Ghasemi H., "Petrography and Petrogenesis of Metamorphic Rocks, Petrogenesis of Compositional Groups and Tectonic Settings of Metamorphic Event", Volume 2, Shahrood University of Technology (2014).
- [30] Deer W. A., Howie A., Sussman J., An interdiction to rock- forming minerals. 17th. Longman Ltd, (1986), 528p.
- [31] Bucher K., Grapes R., "Petrogenesis of Metamorphic Rocks", Springer Heidelberg Dordrecht London New York. (2011), 441p.
- [32] Droop G. T. R. A., "general equation for estimating  $Fe^{3+}$  concentration in ferromagnesian silicates and oxides from microprobe analysis, using stoichiometric criteria", *Mineralogical Magazine* 51(1987), 431-435.
- [33] Deer W.A., Howie R.A., Zussman J., "An introduction to the rock forming minerals", Longman Ltd, (1992), 528p.
- [34] Henry D.J., Charles V.G., Jennifer A.T., "The Ti- saturation surface for low-to-medium pressure metapelitic biotites: Implications for geothermometry and Ti-substitution mechanisms", *American Mineralogist*, 90 (2005), 316-328.

- [56] Ahlesadat S.M., Ghorbani G., Shafaii Moghadam H., "Geochemistry of Akbar-Absd igneous rocks, E Zarand", 8<sup>th</sup> symposium Iranian Society of Economic Geology, University of Zanjan, (2016).
- [57] Torabi G., "Chromitite potential in mantle peridotites of the Jandaq ophiolite (central Iran)", C. R. Geoscience 341(2009), 982–992.
- [58] Michael P. J., "Regionally distinctive sources of depleted MORB: Evidence from trace elements and H<sub>2</sub>O, Earth Planet", Sci. Lett., 131(1995), 301–320.
- [59] Dixon J. E., Clague D. A., "Volatiles in basaltic glasses from Loihi seamount, Hawaii: Evidence for a relatively dry plume component", J. Petrol., 42(2001), 627–654.
- [60] Danyushevsky L. V., Eggins S. M., Falloon T. J., Christie D. M., "H<sub>2</sub>O abundance in depleted to moderately enriched mid-ocean ridge magmas; part I: Incompatible behaviour, implications for mantle storage, and origin of regional variations", J. Petrol., 41(2000), 1329–1364.
- [61] Dixon J. E., Leist L., Langmuir C., Schilling J. G., "Recycled dehydrated lithosphere observed in plume-influenced mid-ocean-ridge basalt", Nature, 28 (2002) 385–389.
- [62] Herzberg C., Asimow P. D., Arndt N., Niu Y. L., Lesher, C. M., Fitton J. G., Cheadle Michael., Saunders A. D., "Temperatures in Ambient Mantle and Plumes: Constraints from Basalts, Picrites, and Komatiites", Geochemistry Geophysics Geosystems 8, (2007).
- [63] Shekari s., "Petrology and geochemistry of Shotor-Kuh metamorphic complex (SE Shahrood)", PhD thesis, Shahrood University of Technology, Shahrood, Iran (2018), (in Persian).
- [64] Rahmati-Illkhchi M., Jer'a bek P., Faryad S.W., Kos'ler J., "Tectonometamorphic evolution of the Shotur Kuh metamorphic core complex in the Central Iranian block", In: 6th Meeting of the Central European Tectonic Group, Upohlav Slovakia SlovTec, (2008).
- [65] Verdel C., Wernicke B.P., Ramezani J., Hassanzadeh J., Renne P.R., Spell T.L., "Geology and thermochronology of Tertiary Cordilleran-style metamorphic core complexes in the Saghand region of central Iran", Geological Society of America Bulletin 119 (7–8) (2007), 961–977.
- [66] Rahmati-Illkhchi M., "Geology map of Rezveh 1:100000", geological survey and mineral exploration of Iran (2003).
- [45] Balaghi Einalou Z., Sadeghian M., Ghasemi H., Mohajjal M., Zhai M, "Mineralogy, Geochemistry and Radiometric Age of Mafic Dikes in Delbar Metamorphic Complex (Southeast of Shahrood)", Iranian Journal of Crystallography and Mineralogy 22, no. 3 (2014), 471–84.
- [46] Rasul N. M.A., Stewart I. C.F., "The Red Sea: The Formation, Morphology, Oceanography and Environment of a Young Ocean Basin", Springer-Verlag Berlin Heidelberg, (2015) 627p.
- [47] Abbo A., Avigad D., Gerdes A., Gungor T., "Cadomian basement and Paleozoic to Triassic siliciclastics of the Taurides (Karacahisar dome, south-central Turkey): Paleogeographic constraints from U-Pb-Hf in Zircons", LITHOS, 227, (2015), 122–139.
- [48] PLATES Project., "Institute of Geophysics", University of Texas at Austin (1999).
- [49] Hosseini S. H., Sadeghian M., Zhai M., Ghasemi H, "Mineral Chemistry, Petrogenesis and Tectonic Setting of Band-E-Hezarchahgranitoids (Se Shahrood)." Iranian Journal of Crystallography and Mineralogy 24, no. 2 (2016): 259–272.
- [50] Jamshidi Badr M., Collins A.S., Masoudi F. Cox G., Mohajjal M., "The U-Pb age, geochemistry and tectonic significance of granitoids in the Soursat Complex, Northwest Iran", Turkish Journal of Earth Sciences, 22 (2013) 1–31.
- [51] Razavi S.M., "Magmatism and metamorphism Saghand area (Central Iran)", Islamic Azad University, 300p, (1993)
- [52] Faramarzi N.S., Amini S., Schmitt A.K., Hassanzadeh J., Borg G., McKeegan K., Hosein Razavi S.M., Mortazavi S.M., "Geochronology and geochemistry of rhyolites from Hormuz Island", southern Iran: A new record of Cadomian arc magmatism in the Hormuz Formation, Lithos 236–237(2015), 203–211.
- [53] Veiskarami M., Sadeghian M., Ghasemi H., "The first report of metarhyolites in Majerad metamorphic – igneous complex (SE of Shahrood)", 24<sup>th</sup> symposium of Crystallography and Mineralogy of Iran, (2017) 1129–1134.
- [54] Monazzami Bagherzadeh R., Karimpour M. H., Farmer G. L., Stern Ch. R., Santos J. F., Ribeiro S., Rahimi B., Haidarian Shahri M. R, "Zircon Geochronology (U-Pb), Petrography, Geochemistry and Radioisotopes of Bornaward Metarhyolites (Central Taknar Zone-Northwest of Bardaskan)", Journal of Economic Geology, Vol. 8, No. 1, (2016) 239–234.
- [55] Balaghi Einalou Z., "Petrology and geochemistry of South Bahabad igneous rocks (Bafgh- Yazd)", Msc thesis, Shahrood University of Technology, Shahrood, Iran (2008), (in Persian).